

Piano Strutturale 2025

Art. 17 L.R. 65/2014

### **QG1 - RELAZIONE GEOLOGICA**





Piano Strutturale Legge Regionale n. 65/2014



#### Comune di Viareggio

#### Sindaco

Giorgio Del Ghingaro

#### Assessore alla Pianificazione Strategica della Città

Federico Pierucci

#### **Dirigente Settore Opere Pubbliche**

e Pianificazione Urbanistica - R.P.

Arch. Silvia Fontani

#### Garante dell'Informazione e della Partecipazione

Dott.ssa Iva Pagni

#### Ufficio Pianificazione Urbanistica e Piani di Settore

Arch. Claudia Fruzza

Ing. Giulia Bernardini

Arch. Sabrina Petri

Pianificatore Territoriale Ilaria Conti

Pianificatore Territoriale Lorenzo Spadaccini

Ornella Angeli

#### Gruppo di Lavoro

#### Progettazione urbanistica:

STEFANO BOERI ARCHITETTI SRL

Arch. Stefano Boeri

Arch. Corrado Longa

Arch. Laura Di Donfrancesco

Pian. Urb. Yazan Kondakji

#### Aspetti ecosistemici e agroforestali:

SOCIETÀ ENVIAREA SNC

Agr. Elena Lanzi

Agr. Andrea Vatteroni

#### Aspetti idraulici:

STA ENGINEERING SRL

Ing. Jacopo Taccini

#### Aspetti geologici:

SOC. GEOPROGETTI STUDIO ASSOCIATO

Dott. Geol. Emilio Pistilli

#### Aspetti botanici e vegetazionali

Dott. Paolo Emilio Tomei

#### Partecipazione:

ATELIER PROGETTUALE PRINCIPI ATTIVI SRL

Dott.sa in arch. Monia Guarino

#### Aspetti socio-economici:

SIMURG RICERCHE SNC

Dott. Claudio Salvucci

#### Aspetti storico-identitari:

Arch. Andrea Crudeli

#### Aspetti archeologici:

Dott.ssa Elisabetta Abela

#### Valutazione ambientale strategica:

SOCIETÀ ENVIAREA SNC

Agr. Elena Lanzi

e Arch. Annalisa Pirrello















#### **INDICE**

1 INTRODUZIONE	8
1.1 Premessa	9
1.2 Metodologia di indagine	9
1.3 Elaborati grafici ed allegati	
2 INQUADRAMENTO GEOGRAFICO	
3 CARTA GEOLOGICA E GEOMORFOLOGICA TAVOLA Q.G 1.	115
3.1 Assetto geologico e tettonico	
3.1.1 Descrizione della struttura del "Substrato Profondo"	
3.1.2 Apertura del bacino di Viareggio e sedimentaz	ione del "Substrato
Intermedio"	
3.1.3 Descrizione della struttura del "Substrato Superiore".	20
3.2 Stratigrafia	
3.2.1 Depositi quaternari e attuali	22
3.3 Geomorfologia	23
3.3.1 Aree in subsidenza	24
3.3.2 Riporti	25
3.3.3 Ex Discariche	25
3.3.4 Argini fluviali	
3.3.5 Laghi	
4 CARTA DELLA VARIAZIONE DELLA LINEA DI COSTA Q.G 1.	
5 CARTA IDROGEOLOGICA E DELLE ISOCONDUTTIVE - TA	
TAVOLA Q.G 1.3.2; CARTA DELLE PROBLEMATICHE IDF	
TAVOLA Q.G 1.3.3	
5.1 Studio dei caratteri idrogeologici dell'area	
5.1.1 Pozzi	
5.1.2 Piezometri	
5.1.3 Punti di misura della conducibilità delle acque superfi	-
5.1.4 Aree ad intrusione salina come cartografate nel pro	•
Gestione delle Acque"	
6 CARTA DELLA PERICOLOSITÀ GEOLOGICA – TAVOLA Q.G.	
7 CARTA DELLE INDAGINI E DEI DATI DI BASE – TAVOLA Q.G 1.5.2 E TAVOLA Q.G 1.5.3	•
8 CARTA GEOLOGICO TECNICA – TAVOLA Q.G 1.6	
9 CARTA DELLE SEZIONI GEOLOGICO TECNICHE – TAVOLA	
10 CARTA DELLE FREQUENZE FONDAMENTALI DEI DEPOS	
1.8	
11 CARTA DELL'INDICE POTENZIALE DI LIQUEFAZIONE – TA	
11.1 Verifiche a liquefazione	
11.1.1 Metodo di Robertson and Wride (1998)	
11.1.2 Metodo di Robertson and Wride modificato	
11.1.3 Metodo di Idriss e Boulanger (2008)	
11.1.4 Metodo di Idriss e Boulanger (2014)	
11.1.5 Dati di input delle verifiche a liquefazione	
11.1.6 Risultati delle verifiche a liquefazione e considerazio	
,	

12 CARTA DELLE MICROZONE OMOGENEE IN PROSPETTIVA SISMI	CA (MOPS)
E DELLE COLONNE MOPS – TAVOLA Q.G 1.10	69
12.1 Zone stabili suscettibili di amplificazione	71
13 CARTA DI MICROZONAZIONE SISMICA DI SECONDO LIVELLO – TA	WOLA Q.G
1.11, TAVOLA Q.G 1.12 E TAVOLA Q.G 1.13	75
14 CARTA DELLA PERICOLOISTA' SISMICA – TAVOLA Q.G 1.4	78
15 SALVAGUARDIE DEL TERRITORIO	81
15.1 Invarianza idraulica	82
15.2 Fognature	83
15.3 Vulnerabilità dell'acquifero a fenomeni di intrusione salina	83
15.4 Pozzi	84
15.5 Viabilità	85
15.6 Reticolo idrografico minore	85
15.7 Costruzioni interrate sotto falda	86

## INTRODUZIONE

#### 1.1 Premessa

La presente relazione riferisce gli esiti delle indagini geologiche redatte a supporto del Piano Strutturale per il Comune di Viareggio.

Il quadro conoscitivo degli strumenti urbanistici vigenti è rappresentato da:

- Piano Strutturale, redatto ai sensi della L.R.T. n.5 del 16 gennaio 1995, approvato con Delibera di Consiglio Comunale n.27 del 29 giugno 2004 e pubblicato in data 11 agosto 2004 sul B.U.R.T. n.32;
- Regolamento Urbanistico, redatto ai sensi della L.R.T. 65 del 10 novembre 2014, approvato con Delibera di Consiglio Comunale n.52 del 4 novembre 2019 e pubblicato in data 18 dicembre 2019 sul B.U.R.T. n.51.

Il presente studio è stato condotto in ottemperanza del Decreto del Presidente della Giunta Regionale 30/01/2020 n.5/R "Regolamento di attuazione dell'articolo 104 della legge regionale 10 novembre 2014, n. 65 (Norme per il governo del territorio) contenente disposizioni in materia di indagini geologiche, idrauliche e sismiche", e dei dei Piani, di gestione del rischio alluvioni (PGRA), di gestione delle acque (PGA), e di assetto idrogeologico (PAI) dell'Autorità di bacino distrettuale dell'Appennino Settentrionale.

Gli approfondimenti relativi agli aspetti idraulici sono stati condotti dall'Ing Jacopo Taccini, il quale ha verificato le portate di alcuni corsi d'acqua inseriti nel reticolo di riferimento della Regione Toscana e le aree potenzialmente interessate da esondazioni; da quest'ultimo aspetto discendono le carte di pericolosità idraulica rappresentate negli elaborati dello studio idrologico – idraulico.

#### 1.2 Metodologia di indagine

Lo studio del territorio comunale è stato condotto approfondendo il quadro delle conoscenze più recenti già disponibili, rappresentate dalle indagini geologico-tecniche di supporto al Regolamento Urbanistico approvato con D.C.C. n.52 del 4/11/2019, redatto ai sensi del D.P.G.R. 25/10/2011, n.53/R.

Per la caratterizzazione litotecnica dello spessore di terreno significativo ai fini della pianificazione urbanistica, i dati già a disposizione sono stati integrati con quelli estratti da indagini di supporto ad interventi edilizi specifici, reperiti presso l'archivio dell'Ufficio Tecnico Comunale, da quelli forniti dal settore sismica della Regione Toscana derivati dal portale PORTOS e da alcune stratigrafie estratte dalla Tesi del Geol. Roberto

Mattei "Analisi dei depositi tardo quaternari del bacino di Viareggio" (Dipartimento di scienze della Terra dell'Università di Pisa, 2008).

Il quadro conoscitivo e normativo di strumenti sovraordinati è invece rappresentato da:

- Cartografie e norme del Piano di Gestione delle Acque (PGA), con particolare riferimento agli aspetti legati al fenomeno di salinizzazione
- Piano di Gestione del Rischio di Alluvioni (PGRA), per gli aspetti idraulici
- Progetto di PAI, con particolare riferimento alle aree in subsidenza

Ulteriori dati che sono stati consultati per la redazione degli studi derivano da:

- Database geologico del Continuum regionale;
- Data base ISPRA per pozzi e sondaggi profondi
- · Geoportale Nazionale
- Mappatura radar satellitare della Regione Toscana

Relativamente agli aspetti sismici, il comune di Viareggio è dotato di studi di microzonazione sismica di primo livello, redatti nel 2018 ed allegati al Regolamento Urbanistico.

In conseguenza dell'acquisizione di una notevole mole di nuovi dati, sia geotecnici che sismici, abbiamo ritenuto opportuno rivedere ed aggiornare tali studi, redigendo inoltre, come richiesto dalla normativa, lo studio di microzonazione di secondo livello, con la restituzione delle cartografie dei fattori di amplificazione sismica per i diversi periodi di riferimento.

A supporto degli studi, sono state inoltre eseguite verifiche di suscettibilità alla liquefazione su un considerevole numero di indagini CPT a disposizione, distribuite sull'intero territorio comunale. Le analisi sono state condotte prendendo a riferimento lo studio redatto nel 2018 dalla Regione Toscana e dal Dipartimento di Ingegneria Civile di Pisa (Progetto regionale per la verifica della suscettibilità a liquefazione dei terreni nell'area diella Provincia di Lucca e Pisa – subprogetto VERSILIA - Lo Presti C. F. D. & Tognotti L., 2018).

Sulla base dei nuovi studi eseguiti è stata quindi redatta la carta di pericolosità sismica.

#### 1.3 Elaborati grafici ed allegati

Tutte le carte tematiche di base sono state elaborate alla scala del massimo dettaglio disponibile, utilizzando per la digitalizzazione la CTR in scala 1:2.000, le ortofoto messe a disposizione sul sito della Regione Toscana e la morfologia derivata dall'elaborazione dei dati LIDAR.

Le cartografie sono state restituite in scala 1:10.000 o 1:5.000 utilizzando la base cartografica fornita dagli uffici tecnici comunali.

L'elenco degli elaborati prodotti è riportato nella seguente tabella:

Tabella 1.1: Elenco elaborati

	Titolo	Scala
QG1.1	Carta Geologica e Geomorfologica	1:10.000
QG1.2	Carta della variazione della linea di costa	1:10.000
QG1.3.1	Carta Idrogeologica e delle isoconduttive (dicembre 2023)	1:10.000
QG1.3.2	Carta Idrogeologica e delle isoconduttive (aprile 2024)	1:10.000
QG1.3.3	Carta delle problematiche idrogeologiche	1:10.000
QG1.4	Carta della Pericolosità geologica	1:10.000
QG1.5.1	Carta delle Indagini e dei Dati di Base Nord	1:5.000
QG1.5.2	Carta delle Indagini e dei Dati di Base Sud-Est	1:5.000
QG1.5.3	Carta delle Indagini e dei Dati di Base Sud-Ovest	1:5.000
QG1.6	Carta Geologico Tecnica	1:10.000
QG1.7	Carta delle Sezioni Geologico Tecniche	1:1.000
QG1.8	Carta delle Frequenze fondamentali dei depositi	1:10.000
QG1.9	Carta della classificazione dell'indice del Potenziale di Liquefazione	1:10.000
QG1.10	Carta delle Microzone Omogenee in Prospettiva Sismica (MOPS) e delle colonne MOPS	1:10.000
QG1.11	Carta di Microzonazione Sismica – FA 0.1-0.5	1:10.000
QG1.12	Carta di Microzonazione Sismica – FA 0.4-0.8	1:10.000
QG1.13	Carta di Microzonazione Sismica – FA 0.7-1.1	1:10.000
QG1.14	Carta della Pericolosità sismica locale	1:10.000

I tabulati delle indagini e dei dati di base a disposizione per il territorio sono racchiusi negli allegati contenuti nella cartella "Banca Dati".

Si precisa che la numerazione delle singole indagini ubicate nelle tavole QG1.5, "Carta delle indagini e dei dati di base" rispetta le indicazioni degli Standard di rappresentazione di Microzonazione Sismica e non sempre è possibile risalire direttamente al report dell'indagine dal solo numero indicato nella carta.

Per tale motivo, in Appendice alla presente relazione, sono state inserite due tabelle di correlazione, una per le indagini puntuali e una per le indagini lineari, nelle quali alla sigla indicata in carta viene associato un campo in cui è riportato il nome del relativo documento allegato contenuto nella cartella "QG 1.5 Cartella Indagini".

Per le indagini inserite in uno stesso documento, sono elencate il nome del documento di riferimento e la relativa pagina, in modo da risalire ai report delle indagini.

## 2 INQUADRAMENTO GEOGRAFICO

Il comune di Viareggio è situato nella porzione nord-occidentale della Regione Toscana e rientra nella Provincia di Lucca. Il territorio comunale è interamente contenuto nel quadrante 104 (Pisa) della carta 1:100.000.

Nella cartografia tecnica regionale l'area del comune di Viareggio è ricompresa nei fogli in scala 1:10.000 di seguito elencati:

260110, 260120;260150;260160

Il territorio comunale ha un'estensione pari a circa 33 km², con sviluppo sub-parallelo alla linea di costa, e delimitato a Nord dal Fiume Camaiore, che segna il confine con l'omonimo comune, e a Sud dal Canale Bufalina che segna il confine con il comune di Vecchiano. Oltre i due suddetti corsi d'acqua, Il sistema idrografico principale è rappresentato dal Canale Burlamacca che mette in connessione il mare con il Lago di Massaciuccoli. All'interno del territorio è presente una rete di fossi e corsi idrografici secondari che in passato servivano sia per la regimazione delle acque del lago e delle paludi, che per la rete di trasporto merci.

Con lo sviluppo della città, i canali sono stati progressivamente urbanizzati, mentre lo sviluppo della rete stradale e la chiusura di molte attività, hanno determinato la fine del loro utilizzo come vie d'acqua.

In prima approssimazione la morfologia del comune è pianeggiante. Tuttavia analizzandola attraverso il dettaglio consentito dei dati LIDAR emerge come la porzione centrale del territorio comunale si trovi a quote leggermente maggiori rispetto alle aree circostanti, e comprese tra 2 ed 3 m s.l.m.; le zone prossime al Lago di Massaciuccoli raggiungono minimi fino a -3 m s.l.m (Di Grazia et al., 2009), mentre le zone lungo il litorale costiero sono poste a quote massime di circa 1 e 2 m s.l.m.

Inoltre nella zona del parco, pressoché inalterata ed esente da alcuna modifica antropica, la morfologia si caratterizza per un sistema di depressioni allungate parallelamente alla costa, alternate a piccoli alti morfologici, nei quali si è stabilita una fitta e variegata vegetazione che ricopre quasi totalmente questo paesaggio retrodunale.

### CARTA GEOLOGICA E GEOMORFOLOGICA – TAVOLA Q.G 1.1

Lo studio geologico è stato impostato partendo dall'esame dei lavori già condotti sul territorio comunale, tra i quali, oltre all'indagine geologico-tecnica svolta a supporto del vigente R.U, citiamo:

- Continuum della Carta Geologica Regionale
- Carta Geologica derivante dal Progetto di Piano di Bacino Stralcio "Bilancio idrico del bacino del lago di Massaciuccoli" redatta dall'Autorità di Bacino del Fiume Serchio, alla scala 1:25.000.
- Analisi dei depositi tardo quaternari del bacino di Viareggio derivanti dallo studio inedito di una Tesi di II° livello, redatta da Roberto Mattei (Dipartimento di scienze della Terra dell'Università di Pisa, 2008).

Inoltre hanno permesso di aggiungere ulteriori dettagli rispetto al quadro delle conoscenze le indagini puntuali ed i sopralluoghi eseguiti a supporto del presente studio.

#### 3.1 Assetto geologico e tettonico

Il comune di Viareggio è ubicato all'interno di una zona pianeggiante compresa nel bacino ricompreso fra i Monti Pisani a NE, le secche della Meloria-Maestra a SW e "La Gronda dei Lupi" a SE. A scala regionale il bacino è orientato in prevalenza NW-SE ed ha un'estensione di circa 40 km di larghezza e 85 km di lunghezza,.

Nello specifico, il territorio comunale rientra nella porzione di pianura definita in letteratura come "piana Versiliese", distinta da un punto di vista stratigrafico generale, in 3 macrounità (Della Rocca et al., 1987; Mazzanti, 1994; Mazzanti, 2000) così riassumibili:

- 1. "Substrato profondo", descritto come l'insieme degli ammassi rocciosi pretortoniani costituenti l'edificio appenninico (Unità Toscane, Unità Liguri etc.) ed il basamento sul quale si sono deposti successivamente i sedimenti neogenici.
- 2. "Substrato intermedio", che comprende i sedimenti "neoautoctoni" sin e posttortoniani deposti nelle fosse tettoniche in apertura sul margine occidentale della catena appenninica.
- 3. "Substrato superiore" formato da depositi posteriori al Pleistocene inferiore la cui deposizione è stata fortemente influenzata dalle variazione glacioeustatiche-climatiche tardo quaternarie e dagli apporti terrigeni da parte dei corsi d'acqua.

#### 3.1.1 Descrizione della struttura del "Substrato Profondo"

Il "Substrato Profondo" costituisce l'ossatura dell'Appennino e delle Alpi Apuane, ma rappresenta anche il basamento dei deposti "neoautoctoni" (Tortoniano superiore-

attuale). La messa in posto del substrato profondo è stata controllata da fenomeni a grande scala riconducibili ai rapporti geodinamici intercorsi tra la placca europea e quella eurasiatica. La tettonica riguardante questo aspetto è stata caratterizzata (Oligocene inf.) dal progressivo ingresso nella catena appenninica di diversi domini paleogeografici, dai più occidentali ai più orientali. Partendo dalle aree più occidentali si possono riconoscere cinque domini principali, tre oceanici (Liguridi interne; Liguridi Esterne e Supergruppo della Calvana) e due continentali (Dominio Toscano e Dominio Umbro-Romagnolo).

Nel Cretaceo sup.-Eocene è avvenuto lo sradicamento delle Unità Liguri dal loro substrato oceanico ed il loro impilamento su se stesse, con conseguente formazione del cuneo di accrezione appenninico. Nel Miocene medio-sup. la Falda Toscana (Dominio Toscano interno) è sovrascorsa al di sopra della più esterna Unità Cervarola-Falterona; successivamente le Unità Liguri si sono messe in posto prima sopra la Falda Toscana e poi sopra l'Unità Cervarola-Falterona. L'impilamento della varie falde è avvenuto con strutture a *duplex* (Patacca et al., 1990; Cerrina Ferroni et al., 2004).

Il fenomeno geodinamico responsabile di questi movimenti, unito alla scarsa componente di convergenza delle placche africana ed europea lungo una direzione ortogonale rispetto alla catena appenninica, ha generato la progressiva apertura da ovest verso est di una serie di depressioni tettoniche (tipo *graben* o *half graben* di piccole dimensioni a direzione appenninica) che caratterizzano la morfologia del fondale Tirrenico e la struttura del "Substrato Profondo".

### 3.1.2 Apertura del bacino di Viareggio e sedimentazione del "Substrato Intermedio"

Le depressioni tettoniche accennate nel precedente paragrafo sono le strutture dalle quali derivano i bacini neogenici toscani, come quello di Viareggio. Questi bacini sono stati analizzati da indagini sismiche (Bortolotti, 1992) che hanno permesso di rilevarne la struttura tettonica: dai risultati emersi in base allo studio citato è emerso come sia presente una struttura formata da una serie di faglie listriche a gradinata che immergono sia verso ovest che verso est, e che in profondità spesso convergono in un unica faglia basale (fig. 3.1).

Il diverso andamento delle varie famiglie è responsabile della formazione delle strutture di faglie ad *horst* & *graben*, che possono raggiungere rigetti fino ad alcune centinaia di metri.

Il *graben* che forma il bacino di Viareggio inizia ad aprirsi nel Tortoniano sup., seguito poi dai *graben* di Firenze-Pistoia, Mugello, Casentino, Val di Chiana e Val Tiberina.

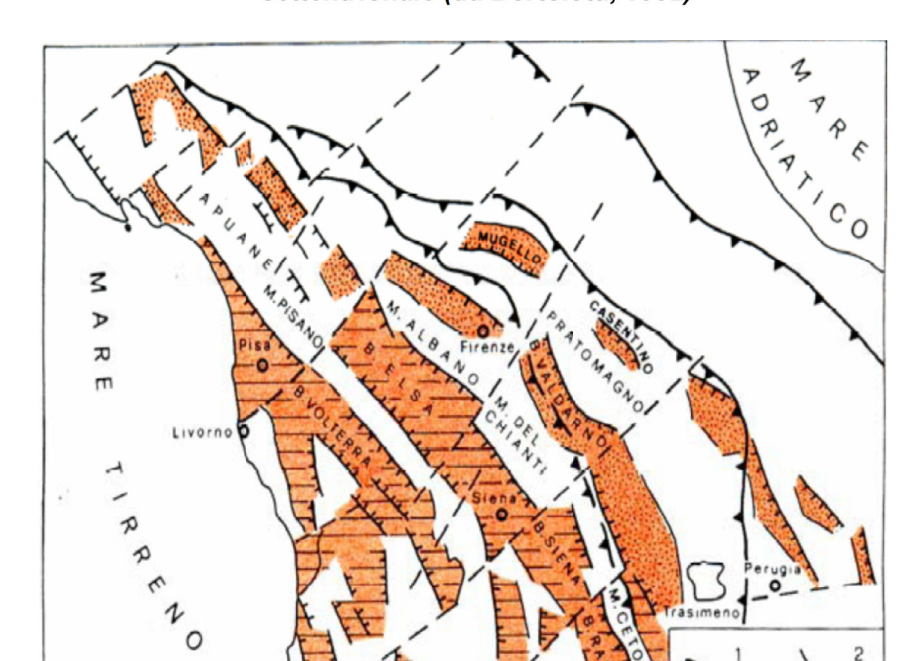


Figura 3.1: Distribuzione dei principali bacini neogenici e quaternari dell'Appennino settentrionale (da Bortolotti, 1992)

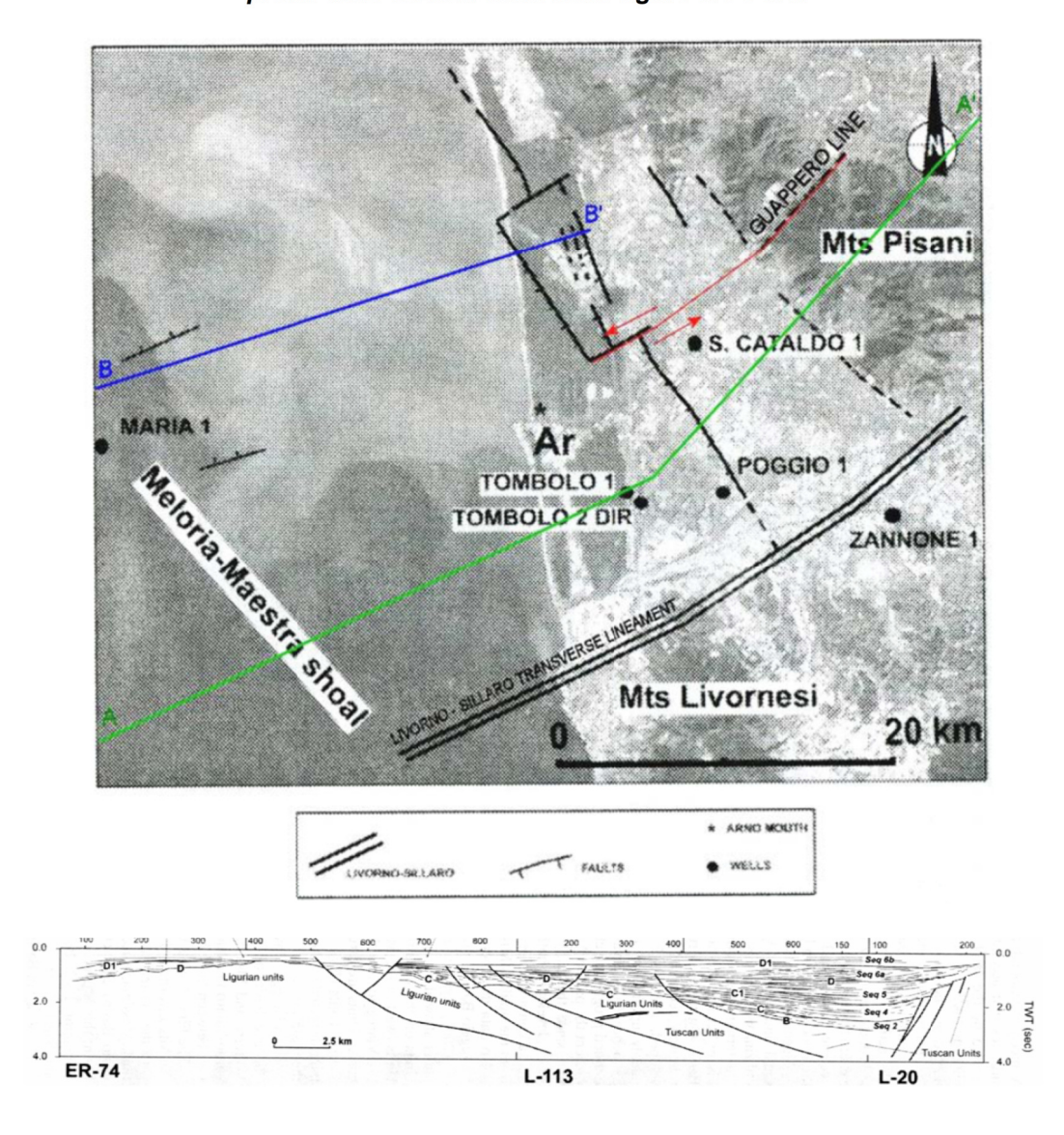
All'interno dei gradini derivati dalla struttura a *graben* o *half graben* si sono accumulati sedimenti marini e continentali; questi ultimi derivano dallo smantellamento degli ammassi rocciosi delle Unità di Massa e della Falda Toscana.

Il bacino di Viareggio è stato più volte esaminato attraverso prospezioni sismiche a riflessione (Mariani & Prato, 1988)(fig. 3.2) grazie alle quali sono stati riconosciuti 3 strati di sedimenti Neogenici-Quaternari appoggiati sul basamento Ligure e Toscano.

Pascucci (2005) propone una suddivisione del bacino di Viareggio in due parti:

- la prima parte (fig. 3.3) ubicata a sud dell'Arno, larga 20 km e lunga 25 km, contiene una successione completa di 2.600 m di spessore di depositi di età compresa fra il Messiniano e l'attuale. Questi depositi sono limitati da una faglia listrica principale immergente verso ovest ed una serie di faglie a gradinata immergenti verso est;
- la seconda parte (fig. 3.4) riguarda la zona del bacino di Viareggio a nord dell'Arno, limitata verso est da un sistema di faglie sintetiche SW immergenti e verso ovest da faglie a minor inclinazione NE immergenti.

Figura 3.2: Tracce delle sezioni realizzate da Pascucci (modificata da Pascucci, 2005). I profili delle sezioni sono nelle figure 3.3 e 3.4.



La sequenza stratigrafica del bacino di Viareggio nella zona di massimo sviluppo, è evidenziata in rosso in fig. 3.5 ed è caratterizzata da un primo spessore di circa 300 m di sabbie ed argille di mare basso, attribuite al Messiniano inf. (Seq. 2)(Mariana & Prato, 1988; Pascucci, 2005). Al di sopra di questo primo livello vi sono sedimenti argillosi di ambiente neritico con intercalazioni sabbiose; in questo caso lo spessore è stimato in circa 1.500 m (Seq. 4 e 5)(Pascucci, 2005). Quest'ultima successione pliocenica è sovrastata da quasi 600 m di sedimenti quaternari, caratterizzati da un'alternanza di sabbie e argille di ambiente marino poco profondo (Seq. 6a). Per finire, negli ultimi 40 m, si trovano ghiaie e argille torbose, che formano il tetto di questa successione quaternaria (Seq. 6b).

del bacino di Viareggio. **INSHORE TUSCANY OFFSHORE** W E CCR MTR Shoreline Unconformities Viareggio Basil Firenze Basis Valderno Basin Sea 6b Sec 6b Seq 6b PLEISTOCENE Uplifted Seq 6a Seq 6a LATE PLICCENE Seq 5 Seq5 Seq 5 MODLE PLICCENE Seq 5 Seq 5 Seg 5 EARLY PLICOCENE Seq 4 Seq 4 Seq 4 Seq 4 Seq 4 LATE MESSINIAN Seq 3 Seq 3 Seq 3 Seq 3 7 Seq 2 Seq 2 Seq 2 Seq 2 Seq 2

Seq 1 A

pre-Neogene Substrate

Figura 3.5: Sequenze stratigrafiche presenti nei graben toscani identificati tramite indagini sismiche (da Pascucci, 2005). In rosso si evidenzia la successione stratigrafica del bacino di Viareggio.

#### 3.1.3 Descrizione della struttura del "Substrato Superiore"

LATE TORTONIAN EARLY TORTONIAN

SERRAVALIAN

LANGHIAN

LATER POCALIA

18.0 Ma

Seq 1

La deposizione dei sedimenti all'interno del "Substrato Superiore" è stata fortemente influenzata dalle oscillazioni eustatico-climatiche responsabili delle fasi trasgressive-regressive tardo quaternarie (Fancelli et al., 1985; Della Rocca et al., 1987). Nel bacino di Viareggio, così come nella Toscana Nord-occidentale, il "Substrato Superiore" è formato da sedimenti alluvionali dell'Arno e del Serchio, dai terreni paludosi e lacustri collegati al Lago di Massaciuccoli e da una lunga e piuttosto continua fascia di cordoni litorali paralleli alla linea di costa.

Federici (1993) propone e traccia un quadro evolutivo del bacino di Viareggio durante il tardo Pleistocene-Olocene: nel suo studio ha analizzato un totale di circa 105 sondaggi, di cui 3 nei pressi di Viareggio e 3 nei pressi del Lago di Massaciuccoli (con

profondità dai 30 a 150 m) proponendo una successione stratigrafica riportata nella tabella a seguire.

La successione inizia con un livello di Ghiaie (G in tabella) ubicato oltre i 100 m di profondità, attribuito al periodo glaciale "Würm I" e facente parte delle conoidi alluvionali provenienti dalle Alpi Apuane (Pleistocene sup.).

Al di sopra del livello di Ghiaie (G) sono state individuati livelli di Argille ed Argille torbose fossilifere (C4, relazionabili con un episodio di deposizione continentale avvenuto durante una fase di clima freddo. Continuando verso l'alto della successione stratigrafica prosegue con sabbie ghiaiose ricche in molluschi marini (S3), argille torbose (C3) e sabbie con presenza di fossili marini (S2).

La successione pleistocenica prosegue e si chiude con argille e torbe (C2) caratterizzate dalla presenza di pollini di Pino (Federici, 1993), al di sopra delle quali inizia la fase di trasgressione Versiliana rappresentata da uno strato spesso (circa 20/30 m) e piuttosto continuo di di sabbie (S1b) a *Thais haemastoma*. Al di sopra di queste sabbie sono state riconosciute argille lacustri (C1), talvolta sostituite da livelli di sabbie eoliche. Al top della successione sono presenti depositi superficiali torbosi (Lago di Massaciuccoli) e sedimenti coesivi organici di piana costiera (P).

Tabella 3.6: Tabella riassuntiva con riportata la stratigrafia del bacino di Viareggio (modificato; da Federici, 1993).

	DESCRIZIONE FORMAZIONE	FASE CLIMATICA	<b>DATAZIONI</b> (14C; anni BP)	EPOCA
(P)	Torbe con vertebrati			
(C1	Argille torbose	Sub Boreale		<u>ш</u>
(S1a)	Sabbie con industrie paleolitiche			OLOCENE
(S1b)	Sabbie silicee	Atlantico	5.280±50 5.646±220	OFC
(C2)	Argille e torbe con pollini di Pino	Wurm III	18.350±350 18.800±400	
(S2)	Sabbie con molluschi marini	Wurm II – Wurm III		l
(C3)	Argille torbose con molluschi	Wurm II		ENE
(S3)	Sabbie e ghiaie con molluschi marini	Wurm I – Wurm II		PLEISTOCENE
(C4)	Argille cineree con molluschi	. Wurm I		] 립
(G)	Ciottoli, ghiaie e conglomerati	7.3////		

#### 3.2 Stratigrafia

La stratigrafia del substrato geologico del Comune di Viareggio è stata definita partendo dalla ricostruzione sviluppata all'interno della Tesi del Geol. Roberto Mattei (2008) ed analizzando i risultati di un elevato numero di sondaggi a disposizione.

Ulteriori informazioni sono state reperite dalla Carta Geologica del Piano di Bacino Stralcio "Bilancio idrico del bacino del Lago di Massaciuccoli".

Qui di seguito è inserita una breve descrizione generale della stratigrafia e delle informazioni ottenute per i substrato geologico del comune di Viareggio. Maggiori informazioni sulle caratteristiche dei depositi sono inserite nei paragrafi successivi.

La stratigrafia del substrato geologico per il Comune di Viareggio, in via generale, è formata da una successione pliocenica di depositi di trasgressione marina, situati fra -35 e -40 m s.l.m., corrispondenti a silt argillosi (Bergamin et al., 2003) e sedimenti argillosi con intercalazioni sabbiose o limi sabbioso-argillosi.

Al di sopra si imposta uno spessore (potente 20/24 m circa) di sabbie medie alternate ad argille, mentre al top della successione si trovano sabbie fini, sabbie siltose e sabbie medie con tracce di materia organica. Nelle zone in prossimità del Lago di Massaciuccoli la successione stratigrafica è chiusa da livelli di limi e limi sabbiosi, talvolta ricchi in materia organica e livelli torbosi.

#### 3.2.1 Depositi quaternari e attuali

#### Sabbie della duna costiera – 'sdc' (OLOCENE)

Questi depositi sono ubicati nella porzione centrale del territorio comunale con direzione circa NW-SE, in continuità con i comuni limitrofi di Camaiore e Vecchiano.

Sono costituiti da sabbie e sabbie limose da fini a medie, prevalentemente silicee grigio-marroni e fossilifere, costituenti cordoni dunari paralleli alla linea di costa. Talvolta possono essere presenti sporadiche tracce di materia organica, livelli torbosi e ghiaie.

#### Sabbie di spiaggia attuale – 's' (OLOCENE)

Presenti lungo tutta la linea di costa del Comune di Viareggio e sono costituiti da sedimenti sabbiosi con rara presenza di ghiaie, ricchi di bivalvi e gasteropodi e resti vegetali. Questa tipologia di depositi costituisce le attuali spiagge litorali.

#### Depositi torboso/argillosi - 'tba' (OLOCENE)

Sono stati incluse in questi depositi le sabbie fini limose, i limi sabbiosi con componente organica, i limi argillosi ed i limi sabbiosi con intercalazioni torbose. Depositi di questo tipo sono localizzati nelle zone di interduna e retroduna, così come

in aree limitrofe al Lago di Massaciuccoli. Questi depositi, ubicati al di sopra dei giacimenti di sabbia silicea, presentano spessori variabili da 1 a 5 m.

#### Depositi palustri – 'p' (OLOCENE)

Costituiscono questi depositi le torbe ed i limi torbosi di colore nero o bruno-nerastro generati ai margini del bacino del Lago di Massaciuccoli. Rispetto ai depositi torbosi ('tb') hanno un contenuto di sostanza organica compreso fra il 20 ed il 50%, il che permette di differenziarli dai primi ed essere definiti come "terreni torbosi s.l.". Oltre a questo è stata comprovata una notevole ricchezza in elementi ferrosi (Sartori & Levi-Minzi, 1985).

#### Depositi torbosi – 'tb' (OLOCENE)

Rappresentano il top della successione stratigrafica descritta nei capitoli precedenti ed hanno spessori variabili di 0.5-1.2 m. Sono depositi costituiti da torbe e limi torbosi di colore nero o bruno nerastro, legati alla presenza del bacino del Lago di Massaciuccoli; il loro contenuto in sostanza organica (come vertebrati e palinoformi) è minore rispetto ai depositi precedentemente citati.

I depositi torbosi 'tb' affioranti in superficie sono legati a periodi climatici temperati, al contrario di livelli torbosi più profondi e deposti durante climi più freddi (Blanc et al., 1953).

#### 3.3 Geomorfologia

Riguardo gli aspetti geomorfologici del territorio comunale sono state dapprima esaminate le informazioni contenute nei seguenti studi:

- Cartografie dell'Autorità di Bacino Distrettuale dell'Appennino Settentrionale
- Database geomorfologico regionale
- Mappatura radar satellitare della Regione Toscana
- Carta geomorfologica redatta a supporto del RU comunale

Dal punto di vista geomorfologico, l'area di studio è completamente pianeggiante e fortemente urbanizzata; quanto alle forme presenti ed osservate, può essere fatta la seguente distinzione:

- aree in subsidenza (rilevate da interferometria satellitare)
- aree in subsidenza (dalle cartografie dell'Autorità di Bacino Distrettuale)
- riporti antropici, ferroviari e stradali
- argini fluviali

#### ex discariche

I 'riporti antropici, ferroviari e stradali' così come le 'ex discariche' rientrano nelle morfologie e depositi di origine antropica.

La restante parte del territorio comunale è caratterizzata dalla presenza di depositi e morfologie di piana alluvionale, già ampiamente descritta nei capitoli precedenti.

#### 3.3.1 Aree in subsidenza

La subsidenza è un fenomeno di abbassamento prevalentemente verticale della superficie terrestre, indipendentemente dalla causa che lo ha prodotto, dallo sviluppo areale e dall'evoluzione temporale del fenomeno. L'attività antropica può influenzare l'evoluzione del processo naturale o determinarne l'innesco; le cause antropiche più diffuse sono principalmente lo sfruttamento eccessivo delle falde acquifere, lo sfruttamento di risorse geotermiche, l'estrazione di idrocarburi, le bonifiche idrauliche.

Per l'area del Comune di Viareggio è stato fatto riferimento a dati di bibliografia provenienti da una Tesi di Laurea dell'Università di Pisa (Barsottini, 2020) e dati interferometrici elaborati dall'Autorità di Bacino Distrettuale dell'Appennino Settentrionale (elaborazione multi-interferometrica di immagini radar dal satellite *Senitel1*). Il tutto è stato integrato con i dati derivanti dai satelliti dell'Agenzia Spaziale Europea (ESA) ed elaborati in ambiente GIS.

I risultati ottenuti hanno messo in evidenza come il territorio comunale sia interessato da due aree in subsidenza: la prima è ubicato in prossimità dei cantieri navali e dove sono presenti le attività turistico ricettive della Darsena. L'altra zona si trova in prossimità del centro abitato di Torre del Lago, lungo il Viale Europa; anche in questo caso le aree di subsidenza sono in corrispondenza di edifici e stabilimenti adibiti ad attività turistico ricettive.

Gli effetti legati alla subsidenza del terreno, quindi, risultano ubicati laddove si ha un elevato emungimento di acqua di falda, legato ad un alto sfruttamento soprattutto durante i mesi estivi. L'elevata richiesta di acqua durante questo periodo potrebbe accelerare ed incrementare il processo di abbassamento del suolo.

A completamento del quadro conoscitivo riguardo il fenomeno della subsidenza è stato fatto riferimento alla normativa del PAI dissesti, che disciplina le aree in subsidenza secondo quanto previsto all'art. 13 comma 1 della disciplina di Piano. Tali aree, tuttavia, non rientrano tra quelle alle quali è associata una classe di pericolosità di cui all'art.6 comma 1 della Disciplina di Piano.

L'Autorità di Bacino Distrettuale dell'Appennino Settentrionale procede annualmente, con decreto del Segretario Generale, all'aggiornamento e modifica della mappa delle

aree soggette a fenomeni di subsidenza del terreno in base ai dati interferometrici disponibili, informando la Conferenza Operativa dell'aggiornamento compiuto.

La revisione delle aree può essere effettuata da questa Autorità sulla base di successivi aggiornamenti del quadro conoscitivo riguardanti i valori puntuali di deformazione superficiale (*Permanent Scatterers*) derivati da analisi multi-interferometrica di immagini radar satellitari, ai sensi dell'art. 15, comma 9, delle norme di piano.

#### 3.3.2 Riporti

In cartografia sono state segnalate le aree con presenza di riporti, messi in posto per la realizzazione di rilevati stradali, ferroviari o di carattere antropico (cittadella del Carnevale e sottosezione Polizia Stradale di Viareggio in via Leonida Repaci).

Dall'osservazione della Tavola Q.G 1.1 si può notare come gran parte dei rilevati stradali siano relativi al tratto autostradale A-12, alla Variante Aurelia ed alle rampe di acesso alle suddette viabilità.

La zona centrale del comune è caratterizzata dalla presenza di un riporto ferroviario non continuo, che si interrompe nei pressi della Stazione Centrale di Viareggio, per poi riprendere al di fuori di essa e continuare verso N in direzione del Comune di Camaiore.

I riporti sono stati perimetrati avendo come sfondo cartografico sia le ortofoto che la morfologia di dettaglio derivata dall'elaborazione dei dati LIDAR.

#### 3.3.3 Ex Discariche

Nella Carta QG 1.1 sono state riportate tre ex discariche presenti sul territorio comunale, di cui due ubicate in prossimità della loc. Le Carbonaie (codice SISBON LU-003 e LU-1185) ed un posta in loc. Forcone (codice SISBON LU-1202).

La ex discarica LU 003 è l'unico sito che ha il procedimento di Messa in Sicurezza Permanente concluso (MISP), sebbene abbia avuto la certificazione di avvenuta bonifica solo per la matrice suolo.

Per quanto riguarda le discariche identificate con i codici LU-1202 e LU-1185, al maggio 2025, entrambe risultano avere un Piano di Caratterizzazione approvato e in attesa della presentazione di proposta di Messa in Sicurezza Permanente o bonifica.

#### 3.3.4 Argini fluviali

La Regione Toscana ha approvato una ricognizione delle opere idrauliche presenti sul territorio regionale, classificate secondo il R.D. 523/1904, approvata con deliberazione di Giunta Regionale n. 1155, 8/11/2021.

Gli argini rappresentati nella suddetta cartografia, per i quali valgono le norme della L.R. 41/2018 e del R.D. 523/1904 son quelli riferiti al Fiume Camaiore ed alla Gora di Stiava;

Per definire precisamente la dimensione e l'estensione dei suddetti argini, la perimetrazione è stata effettuata avendo come sfondo cartografico sia le ortofoto che la morfologia di dettaglio derivata dall'elaborazione dei dati LIDAR.

#### 3.3.5 Laghi

Con questa dizione sono stati indicati tutti gli specchi d'acqua cartografati nella Carta Tecnica Regionale. Nella maggioranza dei casi, a parte una piccola porzione del Lago di Massaciuccoli, si stratta di piccoli invasi idrici che si sono formati all'interno delle ex cave di sabbia e torba, queste ultime distribuite lungo il confine est del comune di Viareggio.

## CARTA DELLA VARIAZIONE DELLA LINEA DI COSTA – TAVOLA Q.G 1.2

L'osservazione della variazione della linea di costa negli anni può fornire informazioni importanti circa la dinamica costiera. A tale scopo, è stata elaborata la Tavola QG 1.2 che riporta la variazione della linea di costa per il periodo 1850-2019.

Le perimetrazioni sono state derivate dall'analisi delle ortofoto dei seguenti anni: 2019, 2016, 2013, 1996, 1988, 1975, 1965, 1954. Ancora più indietro nel tempo, è stata perimetrata anche la linea di costa derivata dai fogli del Catasto Leopoldino che con buona approssimazione sono databili intorno al 1850.

Dal confronto visivo delle diverse linee di costa emerge come la spiaggia di questo questo tratto di litorale sia in netta espansione (progradazione).

L'avanzamento è particolarmente pronunciato nel tratto di spiaggia a Sud del porto tra i cantieri navali della Darsena fino al litorale di Torre del Lago; anche a Nord del porto la linea costiera è in avanzamento, ma in maniera meno evidente rispetto a quanto avviene nelle zone meridionali.

Nella figura seguente (fig.4.1), sono riassunti in forma di grafico le entità dell'avanzamento della linea di costa per le due zone a Sud e a Nord del porto.

Sull'asse delle ascisse è riportata la scala dei tempi (in anni), mentre sull'asse delle ordinate sono riportati gli avanzamenti osservati (in m.).

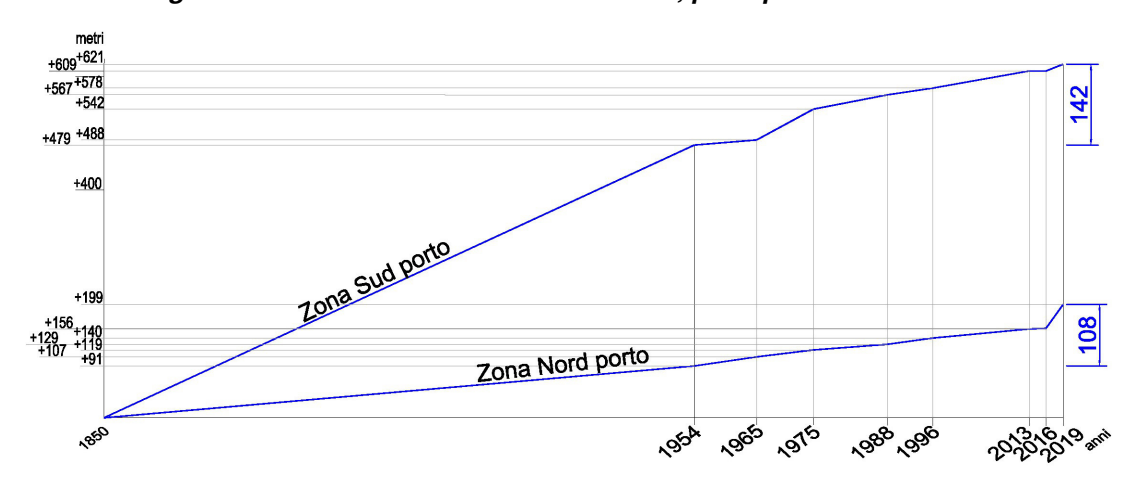


Figura 4.1: Andamento della linea di costa, per il periodo 1850-2019.

Considerando il solo periodo 1954-2019, basato sull'analisi delle foto aeree, si evince come la porzione di area a Sud del porto sia stata interessata da un avanzamento medio di 142 m, mentre per la porzione a Nord l'avanzamento è di circa 104 m.

Analizzando a scala più ampia la variazione della linea di costa, appare come il *trend* registrato per il territorio di Viareggio sia in netta opposizione rispetto a quanto avviene nelle zone più a Nord (Cinquale, Marina di Massa, Marina di Carrara), dove negli ultimi si registra una 'retrogradazione' della linea di costa.

Dalla cartografia relativa al Catasto Leopoldino, infine, è stato possibile estrarre altri due elementi corrispondenti a:

- le aste del reticolo idrografico non più presenti allo stato attuale
- un piccolo lago di retroduna ubicato nei pressi dell'attuale Pineta di Ponente

# CARTA IDROGEOLOGICA E DELLE ISOCONDUTTIVE- TAVOLA Q.G 1.3.1 E TAVOLA Q.G 1.3.2; CARTA DELLE PROBLEMATICHE IDROGEOLOGICHE - TAVOLA Q.G 1.3.3

#### 5.1 Studio dei caratteri idrogeologici dell'area

Gli studi di carattere idrogeologico sono stati rivolti alla definizione dello stato qualitativo delle acque (superficiali e profonde) ricadenti nel territorio comunale. Per la rappresentazione dei risultati e dei dati riguardo tale tipologia di studi sono state elaborate 3 differenti tavole: la Tavola Q.G1.3.1, la Tavola Q.G1.3.2 e la Tavola Q.G1.3.3.

Nelle Tavole Q.G1.3.1 e Q.G1.3.2 sono stati riportati i principali elementi di interesse idrogeologico, quali:

- Pozzi di captazione pubblica
- Pozzi ad utilizzo civile
- Pozzi ad utilizzo agricolo
- Piezometri esistenti
- Punti di misura della conducibilità di acque superficiali e profonde
- Isoconduttive relative al mese di dicembre 2023 e isoconduttive relative al mese di aprile 2024
- Laghi di varia natura

La Tavola Q.G 1.3.3 riporta le "Aree ad intrusione salina" come cartografate nel Progetto di PAI "Piano di Gestione delle Acque" dell'Autorità Distrettuale dell'Appennino Settentrionale. Insieme a queste informazioni, sono state perimetrate quelle aree che, nel corso delle analisi sulle acque sotterranee condotte a corredo del presente Piano Strutturale, hanno presentato valori di conducibilità ≥ 1.000 µS/cm.

Maggiori dettagli circa la definizione di tali aree saranno fornite nelle parti finali del presente capitolo.

#### 5.1.1 Pozzi

I pozzi rappresentati in cartografia sono stati suddivisi in base a loro utilizzo in:

- pozzi di captazione pubblica
- · pozzi ad utilizzo civile
- pozzi ad utilizzo agricolo

L'oggettiva difficoltà di accesso ai luoghi determinata dalla diffidenza dei proprietari in riferimento a possibili controlli sulla regolarità dei pozzi e sull'installazione dei contatori, non ha consentito di ispezionare un gran numero di pozzi ad uso privato.

Gli studi si sono quindi concentrati su n. 13 pozzi pubblici ad uso irriguo utilizzati sia per l'approvvigionamento delle fontane che per l'irrigazione di alcuni giardini pubblici.

La maggior parte di questi pozzi sono localizzati lungo il Viale Giosuè Carducci (parallelo alla linea di costa); altri pozzi pubblici si trovano dislocati a poca distanza, nei pressi della stazione e nella zona industriale di Bicchio-Cotone. Un pozzo si trova nei pressi di Villa Borbone ed un altro vicino l'abitato di Torre del Lago.

Tutti i suddetti pozzi attingono ad un acquifero molto superficiale (circa -5/-6 m rispetto al p.c.), ricaricato direttamente dalle piogge che filtrano facilmente nei primi metri di terreno a forte componente sabbiosa.

Sono stati censiti anche due pozzi privati ad uso agricolo a servizio delle aziende florovivaistiche. Un pozzo è ubicato a sud della zona artigianale industriale di Bicchio-Cotone, mentre il secondo pozzo è situato nei pressi di Torre del Lago.

I pozzi ad uso domestico analizzati sono distribuiti maggiormente nelle zone centrali e a sud del territorio comunale. Due pozzi sono situati nei pressi della Darsena di Viareggio, un pozzo è all'intero della Casa di Cura le Barbantine, mentre la maggior parte si trova presso abitazioni poste nel centro di Torre del Lago.

Per l'ubicazione dei dati spaziali relativi ai pozzi ad uso pubblico, civile ed irriguo è stato fatto riferimento al Database fornitoci dall'Ufficio Tecnico del Comune e dai dati vettoriali derivanti dalla ricerca eseguita da Doveri et al. (2009), con obiettivo lo studio idrogeologico-chimico dell'acquifero freatico compreso fra il Canale Burlamacca e il Fosso Bufalina.

#### 5.1.2 Piezometri

In cartografia sono stati riportati due piezometri installati durante gli studi di Doveri et al. (2009), indicati con il codice ID BB6 e BB39. Il primo piezometro si trova lungo Via Venezia (parallela rispetto a Via Giovanni XXIII), mentre il secondo è ubicato al termine del Viale Europa (Torre del Lago).

### 5.1.3 Punti di misura della conducibilità delle acque superficiali e profonde

Nei mesi di dicembre 2023 ed aprile 2024, sono state condotte due campagne di monitoraggio per lo studio qualitativo generale delle acque superficiali e sotterranee per l'intero territorio comunale.

Nel corso di queste campagne sono stati raccolti ed analizzati (in *situ*) campioni di acqua mediante l'utilizzo di un misuratore multiparametrico portatile (modello HI98194, della casa produttrice *Hanna Instruments*). Questo strumento ha permesso di registrare i seguenti parametri di qualità dell'acqua:

- Temperatura (°C)
- pH
- Ossigeno disciolto (ppm)
- Conducibilità (µS/cm)

Come anticipato in premessa, le analisi hanno riguardato sia le acque superficiali, raccogliendo campioni direttamente da fossi e corsi d'acqua secondari (Gora di Stiava, Fosso della Bufalina, Fosso Farabola, Fosso le Quindici e Fiume Camaiore), che le acque profonde, prelevando campioni direttamente da piezometri esistenti, pozzi domestici e pozzi di captazione pubblica. La profondità media dei pozzi, riscontrata in base ad informazioni raccolte sul posto, è compresa fra -5/-6 m dal p.c.

I dati di campagna acquisiti sono stati inseriti in ambiente GIS ed elaborati attraverso interpolazioni lineari, localmente ricorrette manualmente, in modo da individuare le zone con possibili criticità in termini di qualità delle acque.

Nella Tavola Q.G 1.3.1 sono stati inseriti i risultati delle analisi condotte nel mese di dicembre 2023: riguardo le acque superficiali è stata riscontrata una zona ubicata nella porzione centro Sud del territorio comunale che presenta bassi valori di conducibilità, al di sotto di 500  $\mu$ S/cm. Tale area è ubicata in prossimità della zona dove sono presenti la maggior parte delle aziende florovivaistiche del comune di Viareggio.

La restante parte dei corsi d'acqua mostra uno stato qualitativo peggiore, in quanto si registrano valori di conducibilità più elevati (compresi fra 500 e 2500 µS/cm).

E' da segnalare come il settore compreso fra la Gora di Stiava ed il fiume Camaiore (porzione centro-nord) e la zona adiacente il Fosso della Bufalina (porzione sud) presentino valori di alta conducibilità compresi fra 1.500 e 5.500 μS/cm.

In tabella 5.1 si riportano i valori dei principali parametri fisico-chimici registrati nel mese di dicembre 2023, relativi alle acque superficiali. L'ubicazione dei punti di misura (codice ID) è visibile nella Tavola Q.G 1.3.1.

Tabella 5.1: Valori fisico – chimici delle acque superficiali (dicembre 2023)

Codice ID	рН	Conducibilità (µS/cm)	Temperatura (°C)	
BB2	8	1080	13,8	
BB18	7,4	1670	15,6	
BB19	8	1290	14,8	
BB47	7,9	1110	12,7	
1	8	2410	15,8	
2	8,1	1260	13,5	
3	8,2	730	13,2	
4	8,3	1120	12,4	
5	7,8	330	13,2	
6	8,1	350	13	
7	8,3	360	12,1	
8	8,3	470	11,6	
9	8	520	13,6	
10	8	320	16,1	
11	7,9	300	14,5	
12	8	310	13,5	
13	8,5	18000	11,6	
14	8,4	1400	9,7	
15	8	1460	8,4	
16	7,9	1340	11,2	
17	8,3	2880	10,9	
18	7,6	5500	9,8	
19	8,4	1190	12,8	
20	8,4	1520	10,3	
21	8,2	1360	11,5	
23	6,1	430	9,1	
24	6,1	400	10,4	
25	7,5	1600	8,9	
26	7,4	450	11	
27	7	600	10,5	
28	7,5	2090	10,2	
29	7,4	840	12,6	
30	7,2	890	10,5	
31	7,5	2300	15	
32	7,5	2110	12,2	
33	7,9	1560	12,7	

Codice ID	рН	Conducibilità (µS/cm)	Temperatura (°C)	
34	7,5	2530	15,2	
35	7,2	1810	14,9	
36	7,2	2420	13,2	
37	7,4	3350	14,7	
38	6,2	2070	14,2	
39		n.d.		

Le analisi condotte sulle acque sotterranee, sempre riferite al periodo di magra (dicembre 2023) hanno evidenziato una situazione di buona qualità generale dell'acquifero superficiale dal quale attingono i pozzi esaminati.

I campioni di acqua provenienti dai pozzi di captazione pubblica sono caratterizzati da bassi valori di conducibilità, con valori compresi tra 280 e 680 μS/cm.

Nella restante parte dei punti di misura (pozzi ad uso irriguo e ad uso domestico) sono stati rinvenuti valori di conducibilità fra 1.000 e 1.900  $\mu$ S/cm.

La tabella 5.2 riporta i valori dei principali parametri fisico-chimici delle acque sotterrane analizzate nel mese di dicembre 2023. L'ubicazione dei punti di misura (codice ID) è visibile nella Tavola Q.G 1.3.1.

Tabella 5.2: Valori fisico – chimici delle acque sotterranee (dicembre 2023)

Codice ID	Profondità (m)	Tipologia	рН	Conducibilità (µS/cm)	Temperatura (°C)
BB39	5	Piezometro	8,2	1490	12,3
BB6	8	Piezometro	8	1860	16,4
2689	0	Pubblico	6	590	13,1
2690	0	Pubblico	6,4	360	19,1
2690 sud	0	Pubblico	6,1	500	20,6
2692	0	Pubblico	7,7	430	21,3
2694	0	Pubblico	7,8	530	17,4
2938	0	Pubblico	7,7	310	18,7
2943	0	Pubblico	7,7	360	20,2
Tazzoli	0	Pubblico	6,6	320	18

Codice ID	Profondità (m)	Tipologia	рН	Conducibilità (µS/cm)	Temperatura
Piazza Vettori	0	Pubblico	6,8	360	18,8
Butterfly	0	Pubblico	7,9	360	17,7
Villa Borbone	0	Pubblico	6,9	280	15,2
Parco Ponchielli	0	Pubblico	7,8	330	19
2694 sud	0	Pubblico	7,8	680	17,7
BB14	6	Domestico	8,1	1360	15
BB26	6	Domestico	8	1140	14,4
BB27	6	Domestico	7,5	1850	8,4
BB28	0	Domestico	7,8	1190	11,8
BB29	6	Domestico	8,1	1410	16
BB33	6	Domestico	7,9	1210	15,4
BB34	0	Domestico	8	1940	15
22	6	Irriguo	7,3	1110	16,8
BB23	6	Irriguo	7,7	1170	17

Dai valori chimico-fisici delle acque sotterranee per il mese di dicembre 2023 è stato possibile definire le isoconduttive a scala di tutto il territorio comunale. Tali isolinee sono state elaborate partendo dai valori di conducibilità misurati in ogni singolo punto di misura (pozzi e piezometri), applicando successivamente un metodo di interpolazione lineare (TIN), localmente rettificato manualmente per eliminare evidenti anomalie dell'elaborazione.

Dai risultati ottenuti è emerso come l'area compresa fra la zona Nord del comune, fino ai pressi di Villa Borbone, sia caratterizzata da bassi valori di conducibilità (inferiori a  $1.000~\mu\text{S/cm}$ ). Una situazione di questo tipo potrebbe essere correlata alla facilità di infiltrazione delle acque di prima pioggia che andrebbero a ricaricare l'acquifero superficiale, mantenendo buoni valori dal punto di vista dei parametri fisico - chimici.

Nella zona di litorale compresa fra il Canale Burlamacca ed il Fosso della Bufalina, oltre che nelle zone di Torre del Lago e nelle aree adiacenti al Lago di Massaciuccoli, è invece presente una macroarea caratterizzata da valori di conducibilità maggiori di  $1.000~\mu S/cm$ , con un peggioramento netto dei dei parametri chimico-fisici delle acque, da ricondurre all'ingressione di acqua salmastra.

La Tavola Q.G.1.3.2 riporta i risultati della campagna di analisi condotta nel mese di aprile 2024 (inizio della fase di morbida).

Rispetto ai valori registrati nel dicembre 2023 si nota un generale miglioramento della qualità delle acque, sia superficiali che profonde. In particolare le acque del fiume Camaiore hanno mostrato un netto miglioramento in termini di valori di conducibilità, con un abbassamento generale e valori compresi fra 500 e 1.000  $\mu$ S/cm (rispetto ai 1.500 e 5.500  $\mu$ S/cm misurati a dicembre 2023); le acque dei fossi presenti nella zona industriale di Bicchio-Cotone hanno mantenuto valori simili a quanto misurato durante la campagna di analisi precedente.

Le acque del Canale Burlamacca, del Fosso della Bufalina e quelle presenti nei fossi ubicati nei pressi del Lago di Massaciuccoli si mantengono su elevati valori di conducibilità (1.500 e 3.500  $\mu$ S/cm), dimostrando una situazione pressoché identica a quanto registrato nel mese di dicembre 2023.

La tabella 5.3 riporta i valori dei principali parametri fisico-chimici registrati nel mese di aprile 2024, e relativi alle acque superficiali. L'ubicazione dei punti di misura (codice ID) è visibile nella Tavola Q.G1.3.2.

Tabella 5.3: Valori fisico – chimici delle acque superficiali (aprile 2024)

Codice ID	рН	Conducibilità (µS/cm)	Temperatura (°C)
BB2	8,2	920	19,5
BB18	8,2	1830	20,2
BB19	8,2	1150	21
BB47	7,5	2050	20,7
1	8,3	2700	20,7
2	8,6	1200	20,3
3	8,4	1700	20,4
4	8,3	1180	20,5
5	7,2	400	19
6	7,1	500	19,6
7	6,7	590	19,3
8	7	1160	20,5
9	7,2	450	19,4
10	8,6	440	19,9
11	8,6	1500	19,9

Codice ID	рН	Conducibilità (µS/cm)	Temperatura (°C)
12	8,1	430	18,9
13	0	0	0
14	8,2	1130	19,4
15	8,2	1000	18,3
16	8	1170	20,3
17	8,2	1900	18,8
18	8,1	2630	19,5
19	8,2	620	16
20	8,1	660	16,5
21	8,2	720	16,1
23	8,1	380	19,8
24	8,1	310	20
25	8,5	3138	20,7
26	7,9	850	19,7
27	8	1840	20,5
28	7,3	1840	20
29	7,6	1200	20,5
30	7,9	1200	17
31	0	0	0
32	7,7	890	16
33	8,1	660	14,5
34	7,8	720	16,6
35	7,6	680	18,6
36	8	1000	17,6
37	8,2	1670	19,5
38	7,9	830	15,5
39	8	420	18,7

I risultati delle analisi condotte sulle acque sotterranee per il periodo aprile 2024, mostrano un sostanziale miglioramento per la quasi totalità del territorio comunale.

La zona a Nord del porto è l'unica che, seppur in maniera molto lieve, ha fatto registrare un incremento dei valori di conducibilità delle acque, che comunque si attestano su massimi di 1.000- $1.100~\mu S/cm$  (contro i 400- $500~\mu S/cm$  misurati durante il mese di dicembre). L'incremento della conducibilità, seppur debole, può essere riconducibile all'ingressione di acqua salmastra conseguente all'attivazione dell'irrigazione pubblica, funzionale alla cura e al mantenimento del verde urbano.

In tabella 5.4 si riportano i valori dei principali parametri fisico-chimici registrati nel mese di aprile 2024, e relativi alle acque sotterranee. L'ubicazione dei punti di misura (codice ID) è visibile nella Tavola Q.G1.3.2.

Tabella 5.4: Valori fisico – chimici delle acque sotterranee (aprile 2024)

Codice ID	Profondità	Tipologia	рН	Conducibilit à (μS/cm)	Temperatura
BB39	5	Piezometro	8,3	1190	20,2
BB6	8	Piezometro	7,8	360	18,2
2689	0	Pubblico	7,6	1176	18,6
2690	0	Pubblico	7,5	731	18,3
2690 sud	0	Pubblico	7,6	795	18,3
2692	0	Pubblico	7,6	909	17,8
2694	0	Pubblico	7,4	970	18,2
2938	0	Pubblico	7,6	484	16,8
2943	0	Pubblico	7,8	680	17,4
Tazzoli	0	Pubblico	7,9	477	17
Piazza Vettori	0	Pubblico	7,4	585	18,2
Butterfly	0	Pubblico	8	472	16,5
Villa Borbone	0	Pubblico	7,8	482	16,1
Parco Ponchielli	0	Pubblico	7,3	636	18,9
2694 sud	0	Pubblico	7,3	1180	18,2
BB14	6	Domestico	misura n.d.		

Codice ID	Profondità	Tipologia	рН	Conducibilit à (μS/cm)	Temperatura
BB26	6	Domestico		misura n.c	<b>I.</b>
BB27	6	Domestico	7,1	580	15
BB28	0	Domestico	8,1	870	18,2
BB29	6	Domestico	7,4	520	15
BB33	6	Domestico	8,3	1080	20,5
BB34	0	Domestico	8	990	18,3
22	6	Irriguo	7,2	300	17
BB23	6	Irriguo	8	1080	18,6

Anche per questo periodo di monitoraggio, utilizzando i valori di conducibilità delle acque sotterranee sono stati individuati gli andamenti delle isoconduttive.

Dai risultati ottenuti, riportati nella Tavola QG1.3.2 si può osservare come le isoconduttive con valori di conducibilità uguali o superiori a 1.000 µS/cm siano concentrate in corrispondenza nella zona del Canale Burlamacca, alla foce del Fiume Camaiore e nei pressi del litorale di Torre del Lago.

Nella Tavola QG1.3.3, sono state riportate tutte le aree che presentano una conducibilità maggiore di  $1.000 \, \mu S/cm$ .

In questo modo sono state messe in evidenza quelle aree che, in sede di stesura di Piano Operativo comunale, potranno essere oggetto di prescrizioni ai fini della tutela della risorsa idrica sotterranea.

La scelta di utilizzare il valore di  $1.000~\mu\text{S/cm}$  come soglia per distinguere tali aree è in linea con quanto definito all'interno del progetto "Piano degli Arenili" (Art. 14 punto 7) che, a sua volta, aveva già predisposto limitazioni e prescrizioni nei confronti della salvaguardia della risorsa idrica sotterranea.

Nel mese di Luglio 2024, è stata effettuata una ulteriore campagna di misurazione dei valori in corrispondenza dei soli pozzi utilizzati per l'irrigazione del verde pubblico. Questi valori non sono stati riportati in cartografia essendo relativi ai solo pozzi comunali. Nella tabella 5.5 si riportano a titolo informativo i valori misurati.

Tabella 5.5: Valori fisico – chimici delle acque sotterranee (luglio 2024)

Codice ID	Profondità	Tipologia	рН	Conducibilità (μS/cm)	Temperatura (°C)
2689	0	Pubblico	7,6	1362	20,2
2690	0	Pubblico	7,4	805	19,9
2690 sud	0	Pubblico	7,6	965	21,5
2692	0	Pubblico	7,5	956	22,1
2694	0	Pubblico	7,4	1182	23,7
2938	0	Pubblico	7,5	647	19,4
2943	0	Pubblico	7,4	697	22
Tazzoli	0	Pubblico	7,7	518	25
Piazza Vettori	0	Pubblico	7,4	767	28,6
Butterfly	0	Pubblico	7,7	519	20,8
Villa Borbone	0	Pubblico	7,9	560	17,6
Parco Ponchielli	0	Pubblico	7,3	746	20
2694 sud	0	Pubblico	7,3	1457	21,4

La scelta di effettuare questa ulteriore misurazione nel mese di luglio, periodo nel quale i pozzi subiscono i maggiori prelievi, è funzionale ad evidenziare eventuali zone con netto peggioramento della qualità delle acque. In tal senso, i dati ottenuti dalla campagna di analisi di luglio 2024 sono stati confrontati con quelli delle campagne di dicembre 2023 e aprile 2024.

Rispetto a quanto registrato durante le analisi della campagna di dicembre 2023, i valori di conducibilità misurati nel luglio 2024 si discostano in un intervallo compreso fra un minimo di 159  $\mu$ S/cm ed un massimo di 777  $\mu$ S/cm.

La differenza di conducibilità tra luglio 2024 e aprile 2024 è risultata molto più contenuta rispetto ai dati espressi precedentemente: sono emerse differenze con valori compresi fra 47 e 277  $\mu$ S/cm, dimostrando come vi sia un mantenimento delle buone qualità delle acque analizzate.

Riguardo i valori di pH e temperatura (°C) non sono emersi differenze o incrementi tali da essere segnalati.

### 5.1.4 Aree ad intrusione salina come cartografate nel progetto PAI "Piano di Gestione delle Acque"

La classificazione delle aree ad intrusione salina che fa da sfondo alla Tavola QG1.3.3 è direttamente estratta dalla cartografia redatta dall'Autorità Distrettuale dell'Appennino Settentrionale all'interno del Piano di Gestione delle Acque, che classifica gli areali sulla base della relativa legenda, riportata di seguito.

- **IS1**: aree interessate dal fenomeno di ingressione marina.
- **IS2**: aree nelle quali non si riscontrano segnali di ingressione salina, ma per le quali è necessario mantenere un livello di attenzione data la loro suscettibilità al fenomeno.
- IS3: aree nelle quali non vi sono indizi di ingressione salina ma in cui il sistema di prelievi può essere tale da provocare un aggravio del fenomeno nelle aree contermini.

I criteri di perimetrazione di tali aree per l'intero territorio dell'Autorità Distrettuale sono definiti nel documento: "zonazione dell'intrusione salina nei corpi idrici sotterranei (agosto 2018)".

- IS1: intrusione salina accertata, impatto alto: sono quelle aree già impattate dal fenomeno, come risulta da studi specifici, sostanzialmente basati su analisi chimiche.
- IS2: aree suscettibili di intrusione, impatto moderato: sono state inserite in questa classe le porzioni dei corpi idrici adiacenti alle IS1 ma che, al momento degli studi condotti dall'Autorità di Bacino, non risultavano interessate da ingresso di acqua marina. Generalmente queste aree sono interessate da emungimenti e prelievi che tendono a creare depressioni piezometriche in grado di richiamare acqua salata dalle zone IS1 adiacenti, o direttamente dal mare. Prelievi ingenti in queste aree possono aggravare l'ingressione nelle IS1 interrompendo il flusso idrico di acqua dolce verso il mare.
- **IS3**: non c'è intrusione salina e l'area non è suscettibile, impatto lieve: rientrano in questa classe le aree nelle quali non vi sono indizi di ingressione salina ma in cui il sistema di prelievi può essere tale da provocare un aggravio del fenomeno nelle aree contermini.

### 6 CARTA DELLA PERICOLOSITÀ GEOLOGICA – TAVOLA Q.G 1.4

L'analisi ragionata degli aspetti geologici, litotecnici e morfologici ha permesso di definire le condizioni di pericolosità geologica sulla base dei criteri dettati dal D.P.G.R 30/01/2020 n.5/R, tenendo conto che le classi di pericolosità G1 e G4 non sono presenti nel territorio comunale.

In aggiunta, sono state inserite due sottoclassi *G.3a* e *G2.lt* recependo integralmente quanto già definito nel recente piano degli arenili. Tali classi corrispondono rispettivamente alle aree potenzialmente interessate da fenomeni di erosione della costa e alle aree in cui possono registrarsi cedimenti differenziali dovuti alla presenza di depositi sabbiosi poco addensati.

La legenda utilizzata per la carta di pericolosità è riportata di seguito:

**Pericolosità geologica elevata (G.3**): aree in cui sono presenti fenomeni legati a processi di degrado di carattere antropico; aree interessate da fenomeni erosivi; aree caratterizzate da terreni con scadenti caratteristiche geomeccaniche;

**Pericolosità geologica elevata (G.3a**): aree con potenziale instabilità connessa a fenomeni evolutivi della costa a seguito di alluvioni costiere e fenomeni di marea;

**Pericolosità geologica media (G.2lt):** aree in cui sono presenti condizioni geologicotecniche apparentemente stabili, sulle quali permangono dubbi sulle capacità portanti e valutazioni dei cedimenti che potranno essere chiariti a livello d'indagine geognostica di supporto alla progettazione edilizia.

**Pericolosità geologica media (G.2):** aree con elementi geomorfologici, litologici e giaciturali dalla cui valutazione risulta una bassa propensione al dissesto

La classe di pericolosità "G.2" è stata attribuita a quelle aree ritenute stabili in quanto caratterizzate dalla presenza poco al di sotto del piano campagna di un livello, potente da 5 a 15m di sabbie medie e grossolane, da addensate a molto addensate.

La classe "G.2lt", invece, si riferisce a aree in cui nel substrato non sono state rilevate le sabbie addensate menzionate in precedenza, ma è caratterizzata da depositi sabbiosi recenti e poco compatti, che potrebbero causare cedimenti.

La classe "G3.a" comprende la zona del litorale costiero che, sebbene in fase di progradazione, può essere interessata da fenomeni erosivi in occasione di forti mareggiate. Per il tratto di costa a nord del porto la perimetrazione deriva direttamente dalle indagini geologiche di supporto al Piano degli Arenili. I criteri adottati nel suddetto Piano sono stati estesi al tratto di costa meridionale pervenendo alla perimetrazione riportata in carta.

La classe "G.3" è stata attribuita a quelle zone dove sono presenti depositi limosi o limoso-torbosi (in prossimità del Lago di Massaciuccoli), contraddistinti da caratteristiche geotecniche scadenti.

# CARTA DELLE INDAGINI E DEI DATI DI BASE – TAVOLA Q.G 1.5.1, TAVOLA 1.5.2 E TAVOLA 1.5.3

La cartografia relativa alle Indagini e dati di base è stata redatta in scala 1:5.000, suddividendo il territorio comunale in 3 tavole.

Le tavole sono state realizzate mediante piattaforma GIS, riportando sulla cartografia del territorio comunale tutte le prove presenti, sia di archivio che di nuova realizzazione. Le indagini geognostiche e geofisiche inserite derivano da:

- precedenti strumenti urbanistici,
- archivio dell'Ufficio Tecnico Comunale,
- Tesi inedita dell'Università di Pisa (Mattei, 2008),
- Database Geologico Regionale,
- Indagini sismiche condotte a supporto degli studi di Microzonazione sismica di primo livello ed una nuova campagna di indagini geofisiche eseguita ad aprile 2024 (necessaria alla definizione del livello 2 di Microzonazione sismica)

Le indagini realizzate durante il mese di aprile (2024) sono state così suddivise:

- 11 misure del mictremore a stazione singola (HVSR),
- 1 profilo sismico di superficie (MASW).

Le nuove indagini sono state ubicate in modo da poter sopperire alle zone di territorio comunale non interessate da campagne di indagini precedenti.

I dati a disposizione sono stati selezionati in ragione della loro utilità per la definizione delle caratteristiche geologico-tecniche e sismiche dei depositi presenti, fornendo così due tipologie di banche dati di seguito elencate:

- <u>Banca Dati Geognostica</u>: insieme di indagini geognostiche utili alla definizione delle caratteristiche lito-stratigrafiche e tecniche del territorio, differenziate come seque:
- prove penetrometriche statiche CPT, CPTU, CPTe ed SCPT
- prove penetrometriche dinamiche leggere e e medie DPL, DPM
- prove penetrometriche dinamiche pesanti e super pesanti DPS, DPSH
- pozzi per acqua
- sondaggi a carotaggio continuo
- sondaggi a distruzione
- prove penetrometriche dinamiche in foro SPT
- prova di permeabilità *Lefranc*

- <u>Banca Dati Geofisica</u>: insieme di indagini geofisiche distribuite utili ad inquadrare al meglio le caratteristiche sismiche del territorio, differenziate come segue:
- misure di microtremori a stazione singola HVSR
- profili sismici di superficie MASW/SASW
- profili sismici a rifrazione
- indagine sismica down-hole

Tutte le indagini sono state organizzate in un database strutturato come richiesto negli "Standard di rappresentazione e archiviazione informatica" redatti dalla "Commissione tecnica per la Microzonazione Sismica", versione 4.2.

In Appendice alla presente relazione (vedasi Allegato I), sono state inserite due tabelle di correlazione: una per le indagini puntuali e una per le indagini lineari, nelle quali alla sigla indicata in carta è associato un campo in cui è stato scritto il nome del relativo documento allegato e contenuto nella cartella "QG 1.15\_Cartella indagini Viareggio".

Nelle tabelle, alla sigla delle indagini come da cartografia è correlata la tipologia dell'indagine, il nome del documento di riferimento e la relativa pagina (se ricompresa all'interno di un documento con più indagini).

### CARTA GEOLOGICO TECNICA – TAVOLA Q.G 1.6

La carta geologico-tecnica è stata derivata dalla riclassificazione della carta geologica secondo le indicazioni degli ICMS e degli standard di rappresentazione e archiviazione informatica.

La Tavola QG1.6 riporta le unità geologico-litologiche presenti nel territorio comunale distinte in base alla loro granulometria e tipologia di deposizione. Questa distinzione è stata eseguita utilizzando il modello *Unified Soil Classification System* (ASTM, 1985 modificato) come indicato negli ICMS (2008).

Nel complesso sono state individuate 3 Unità geologico-tecniche principali, riportate nella seguente tabella 8.1.

Oltre alle informazioni precedentemente citate, sono stati riportati anche i pozzi e i sondaggi effettuati all'interno del territorio comunale, con indicato il valore della profondità raggiunta.

Tabella 8.1: Principali Unità Geologico-tecniche e loro caratteri principali

Tipologia dell'Unità (Tipo_gt)	Formazione	Stato di addensamento o di consistenza (Stato)	Ambiente genetico e deposizionale (Gen)
RI	Terreni con resti di attività antropica	14	zz
SP	Sabbie pulite con granulometria ben assortita		sp/cl
PT	Torbe ed altre terre fortemente organiche	13	Ic

Le definizioni utilizzate per la classificazione dei terreni di copertura (*Tipo\_gt*), del loro stato di addensamento (*Stato*) e dell'ambiente genetico deposizionale (*Gen*) sono riportate in tabella 8.2.

Tabella 8.2: Definizione delle sigle relative alle Unità Geologico-tecniche

Tipologia dell'Unità (Tipo	p_gt)			
RI	Terreni contenenti resti di attività antropica			
SP	Sabbie pulite con granulometria ben assortita			
PT	Torbe ed altre terre fortemente organiche			
Stato di addensamento	o di consistenza (Stato)			
14	Sciolto			
13	Poco addensato			
Ambiente genetico e de	posizionale (Gen)			
zz	Antropico			
sp	Spiaggia			
cl	Cordone litoraneo			
Ic	Lacustre			

### CARTA DELLE SEZIONI GEOLOGICO-TECNICHE – TAVOLA Q.G 1.7

Per rappresentare l'assetto geologico-tecnico del territorio comunale sono elaborate 3 sezioni con andamento SW-NE in modo da intersecare tutto il territorio comunale. La traccia delle sezioni è riportata nella Tavola Q.G 1.6 Carta Geologico Tecnica.

Le sezioni sono state rappresentate partendo da una Tesi del Geol. Roberto Mattei "Analisi dei depositi tardo quaternari del bacino di Viareggio" (Dipartimento di scienze della Terra dell'Università di Pisa, 2008) con l'aggiunta di informazioni derivanti da alcune indagini geognostiche eseguite a supporto degli strumenti urbanistici precedenti.

Per ogni formazione riscontrata è stata indicata la sigla geologica, con annesse informazioni sia di carattere litologico che deposizionale. Dai risultati ottenuti si apprezza una generale tabularità dei depositi, con orizzonti prevalentemente sabbiosi che sovrastano potenti orizzonti argillosi.

Nello specifico è stato osservato come la porzione sommitale dei depositi sia rappresentata da sabbie recenti e, nelle aree più interne del territorio comunale, da depositi torbosi e torboso-limosi. Al di sotto di questi orizzonti superficiali è stata riscontrata, grazie ad un copioso numero di indagini a disposizione, la presenza di un livello sabbioso da mediamente a molto addensato, situato a modeste profondità, con spessori compresi tra 5 e 15 m.

L'andamento di questo orizzonte sabbioso è delineato sia nelle tre sezioni geotecniche (A-A', B-B' e C-C') che nella Tavola Q.G 1.1 Carta Geologica e Geomorfologica.

Questo orizzonte è stato identificato a partire dai *report* delle prove penetrometriche, poiché presenta valori di resistenza alla punta 'Rp' elevati, compresi fra 100 e 150 kg/cmq, con massimi isolati anche superiori a 150 kg/cmq.

A partire all'incirca da -25/-30 m dal p.d.c., i sondaggi a disposizione hanno messo in evidenza la presenza di livelli a composizione prevalentemente argilloso-limosa, continui fino a profondità di circa -60 m dal p.c. (massimo raggiunto dai sondaggi osservati).

In tutti i sondaggi osservati non è mai stata riscontrata la presenza di substrato roccioso.

La qualità del modello geologico tecnico appena descritto è in funzione della densità di indagini per cui risulta maggiore laddove queste ultime sono ben distribuite e in gran numero come nel caso delle aree ricadenti nel territorio urbanizzato.

Nelle altre aree il modello può presentare incertezze derivanti da un minor numero di indagini.

## CARTA DELLE FREQUENZE FONDAMENTALI DEI DEPOSITI - TAVOLA Q.G 1.8

La Tavola QG1.8 riporta i risultati delle 54 misure strumentali a stazione singola (HVSR) realizzate all'interno del Comune di Viareggio. Grazie a queste indagini sono state definite le principali caratteristiche della risposta sismica locale delle aree in esame.

Nella Carta delle frequenze fondamentali dei depositi sono state inserite le indagini a disposizione (reperite grazie agli uffici tecnici comunali), quelle effettuate nel mese di aprile 2024 e le indagini realizzate per il Piano Attuativo delle Pinete (in corso di redazione al momento della stesura della presente).

Le stazioni di acquisizione visibili in Carta sono state categorizzate in base ai valori di frequenza caratteristica di sito (f0) e ampiezza del picco nel grafico del rapporto H/V (A0).

Le frequenze di sito (f0) registrate dalle prove eseguite sono abbastanza monotone essendo tutte ricomprese fra 0,2 e 0,5 Hz, con ampiezze (A0) variabili da 0,8 fino a 13.9.

I picchi che si ritrovano in tutte le misure eseguite a frequenze mediamente comprese tra 0,2 e 0,5 Hz, sono da ricondurre al contrasto tra i depositi più recenti ed il substrato litoide che, considerando le velocità sismiche della porzione sovrastante fino a 400 m/s, può attestarsi a profondità minime di 250 metri.

### CARTA DELL'INDICE DEL POTENZIALE DI LIQUEFAZIONE - TAVOLA Q.G 1.9

La liquefazione è un processo in seguito al quale un deposito sabbioso o sabbiosolimoso saturo perde temporaneamente resistenza e si comporta come un liquido viscoso a causa di un aumento della pressione neutra e di una riduzione della pressione efficace.

Queste condizioni possono registrarsi a seguito di terremoti forti (Mw≥5), provocando una drastica caduta di resistenza al taglio dei depositi e, di conseguenza, una perdita di capacità portante del terreno.

Gran parte del territorio del Comune di Viareggio è caratterizzato dalla presenza di un substrato costituito prevalentemente da depositi sabbiosi intercalati a depositi sabbioso-limosi, immersi in falda fino ad una profondità di circa 25-30 m.

Con tali condizioni non è da escludere che i depositi possano essere suscettibili al fenomeno della liquefazione. Questa suscettibilità deve essere valutata secondo criteri e modalità di cui alle Linee guida per la gestione del territorio in aree interessate da liquefazione ("Commissione Tecnica per la Microzonazione sismica art. 5 - comma 7, OPCM 13 novembre 2010, n. 3907").

Inoltre, ai sensi della normativa vigente sulla pianificazione urbanistica (D.P.G.R 30/01/2020 n.5/R), le aree in cui si può ipotizzare l'insorgere della liquefazione sono condizionanti in sede di definizione di pericolosità sismica del territorio.

### 11.1 Verifiche a liquefazione

Nel contesto del presente lavoro, vista la presenza di depositi sabbiosi (olocenici) scarsamente consolidati, e vista la presenza di una falda acquifera che può raggiungere quote prossima al piano campagna, sono state svolte delle verifiche utili alla definizione dell'indice di potenziale liquefazione (IPL).

Il punto di partenza è stato lo studio condotto dalla Regione Toscana insieme all'Università di Pisa (Relazione conclusiva Lo Presti C.F.D & Tognotti L., 2018).

Successivamente sono state condotte ulteriori verifiche utilizzando i risultati di prove penetrometriche statiche (sia CPTm che CPTu) reperite presso gli uffici tecnici del Comune di Viareggio. Queste prove sono state indagate utilizzando 4 metodi semplificati e noti, elencati di seguito:

- Metodo di Robertson & Wride (1998)
- Metodo di Robertson & Wride modificato
- Idriss e Boulanger (2008)
- Idriss e Boulanger (2014)

che sono serviti per calcolare l'Indice di Potenziale Liquefazione (IPL) per ciascun strato attraversato dalla prova penetrometrica; l'IPL è stato definito secondo il metodo di Iwasaki (1982) e Sonmez (2003), utilizzando il *software* Geostru Liquiter, nella versione 2024.24.5.1069.

Per ogni prova penetrometrica sono stati raccolti i valori di **Qc** (resistenza all'avanzamento della punta) ed **Fs** (resistenza per attrito laterale del manicotto – punta Begemann), elaborati in un foglio di calcolo per poi essere inseriti nel software Geostru Liquiter.

Il peso di volume del terreno è stato assegnato sulla base dei dati forniti dai risultati delle indagini eseguite nel territorio o, dove mancanti, prendendo dati da letteratura.

### 11.1.1 Metodo di Robertson and Wride (1998)

Il 'metodo di Robertson e Wride' è basato sui risultati di prove CPT (Cone Penetration Test) ed utilizza l'indice di comportamento per il tipo di suolo **Ic** che viene calcolato mediante l'utilizzo della seguente formula:

$$I_c = [(3,47 - \log_{10} Q)^2 + (\log_{10} R_f + 1,22)^2]^{0.5}$$

$$Q = \frac{q_c - \sigma_{vo}}{Pa} \left( \frac{Pa}{\sigma_{vo}} \right)^n$$

$$R_f = \frac{f_s}{q_c - \sigma_{vo}} 100$$

dove:

qc è la resistenza alla punta misurata

**Pa** è la tensione di riferimento (1 atmosfera) nelle stesse unità di  $\sigma'_{VO}$ 

fs è l'attrito del manicotto

n è un'esponente che dipende dal tipo di suolo.

Inizialmente si assume n = 1, come per un suolo argilloso e si procede al calcolo di IC con la (11.1a).

Se IC > 2,6 il suolo è probabilmente di tipo argilloso e l'analisi si ferma. Il terreno non si considera a rischio di liquefazione.

Se  $IC \le 2.6$ , vuol dire che l'ipotesi assunta è errata, il suolo è di natura granulare, Q verrà ricalcolato utilizzando la (10.1b) usando come esponente n= 0,5.

Se è ancora IC ≤ 2,6, significa che l'ipotesi è giusta e il suolo è probabilmente non plastico e granulare.

Se invece IC > 2,6, vuol dire che l'ipotesi è di nuovo errata e il suolo è probabilmente limoso. Q deve essere nuovamente ricalcolato dalla (10.1b) ponendo n=0,75.

Calcolato IC, si procede con la correzione della resistenza alla punta misurata  $q_{\text{C}}$  mediante la seguente espressione:

$$q_{c1N} = \frac{q_c}{Pa} \left( \frac{Pa}{\sigma_{vo}} \right)^n$$

Dove l'esponente di sforzo **n** è lo stesso utilizzato nel calcolo di IC.

La correzione alla resistenza alla punta dovuta al contenuto di materiale fine viene determinata dalla seguente procedura:

### Robertson e Wride classico

$$(q_{c1N})_{cs} = K_c q_{c1N}$$
  
 $K_c = -0.403 I_c^4 + 5.581 I_c^3 - 21.63 I_c^2 + 33.75 I_c - 17.88$ 

### 11.1.2 Metodo di Robertson and Wride modificato

$$(q_{c1N})_{cs} = q_{c1N} + \Delta q_{c1N}$$
$$\Delta q_{c1N} = \frac{K_c}{1 - K_c} q_{c1N}$$

dove K<sub>C</sub> dipende dal contenuto di fine, FC (%):

$$K_C = 0$$
 per  $FC \le 5$    
 $K_C = 0.0267(FC - 5)$  per  $5 < FC \le 35$    
 $K_C = 0.8$  per  $FC > 35$ 

FC (%) viene calcolato mediante l'espressione seguente:

$$FC(\%) = 1,75(I_C)^{3,25} - 3,7$$

La resistenza alla liquefazione per una magnitudo pari a 7,5 (**CRR**7,5) si calcola con le espressioni seguenti:

se 
$$(q_{C1N})_{CS} < 50$$

CRR = 0.833 
$$\left[ \frac{(q_{c1N})_{cs}}{1000} \right] + 0.05$$

se  $50 \le (q_{C1N})_{CS} < 160$ 

$$CRR = 93 \left[ \frac{(q_{c1N})_{cs}}{1000} \right]^3 + 0.08$$

Il Rapporto di Tensione Ciclica per eventi sismici di magnitudo 7,5 (**CSR7,5**) si determina dalla seguente espressione:

$$\frac{\tau_{\text{av}}}{\sigma_{\text{vo}}} = \text{CSR}_{7,5} = 0.65 \frac{a_g}{g} \frac{\sigma_{\text{vo}}}{\sigma_{\text{vo}}} r_d$$

Per magnitudo diverse occorre introdurre il fattore correttivo **MSF** (*Magnitudo Scaling Factor*) come raccomandato dal **NCEER** (vedi Tabella 11.2)

$$CSR = \frac{CSR_{7,5}}{MSF}$$

Tabella 11.2: Fattore di scala della magnitudo derivato da diversi ricercatori						
Magnitudo	Seed H.B. & Id I.M. (1982)	driss Ambraseys N.N <i>(1988)</i> .	NCEER (Seed R. B. et alii) (1997; 2003)			
5,5	1,43	2,86	2,21			
6,0	1,32	2,20	1,77			
6,5	1,19	1,69	1,44			
7,0	1,08	1,30	1,19			
7,5	1,00	1,00	1,00			
8,0	0,94	0,67	0,84			
8,5	0,89	0,44	0,73			

Per determinare il valore del coefficiente riduttivo **r**<sub>d</sub> vengono utilizzate le formule raccomandate da un gruppo di esperti del **NCEER** (National Center for Earthquake Engineering Research):

per z < 9,15 m 
$$r_d = 1,0 - 0,00765 z$$
 
$$per 9,15 \le z < 23 m$$
 
$$r_d = 1,174 - 0,00267 z$$

Il fattore di sicurezza alla liquefazione **FS** viene determinato dalla relazione:

$$FS = \frac{CRR}{CSR}$$

mentre l'indice e il rischio di liquefazione vengono calcolati con il metodo di lwasaki et al. (1982).

### 11.1.3 Metodo di Idriss e Boulanger (2008)

Nel metodo proposto da **Idriss e Boulanger** l'indice di comportamento **IC** per il tipo di suolo è ricavato con le formule riportate di seguito:

$$I_{c} = \left[ \left( \log_{10} Q - 3.47 \right)^{2} + \left( \log_{10} R_{f} + 1.22 \right)^{2} \right]^{0.5}$$

$$Q = \frac{q_{c} - \sigma_{vo}}{Pa} \left( \frac{Pa}{\sigma_{vo}'} \right)^{n}$$

$$R_{f} = \frac{f_{s}}{q_{c} - \sigma_{vo}} 100$$

dove

qc è la resistenza alla punta misurata

**Pa** è la tensione di riferimento (1 atmosfera) nelle stesse unità di  $\sigma'_{VO}$ 

fs è l'attrito del manicotto

n è un'esponente che dipende dal tipo di suolo, variabile tra 0,5 e 1.

Calcolato **IC**, si procede con la correzione della resistenza alla punta misurata qc mediante la seguente espressione:

$$q_{c1N} = C_Q \cdot \left(\frac{q_c}{Pa}\right)$$

$$C_Q = \left(\frac{Pa}{\sigma_{vo}}\right)^n \le 1.7$$

dove **n** si determina per via iterativa dalla seguente relazione:

$$n = 1,338 - 0,249 \cdot q_{c1N}^{0,264}$$

La correzione della resistenza alla punta dovuta al contenuto di materiale fine viene valutata mediante la seguente procedura:

$$\left(q_{c1N}\right)_{cs} = q_{c1N} + \Delta q_{c1N}$$

$$\Delta q_{c1N} = \left(5.4 + \frac{q_{c1N}}{16}\right) \cdot exp \left[1.63 + \frac{9.7}{FC + 0.01} - \left(\frac{15.7}{FC + 0.01}\right)^{2}\right]$$

Dove la frazione di fine FC(%) viene calcolata mediante l'espressione seguente:

$$FC(\%) = 2.8 \cdot (I_c)^{2.60}$$

La resistenza alla liquefazione per una magnitudo pari a 7,5 (CRR7.5) si calcola da:

$$CRR = \exp\left[\frac{(q_{c1N})_{cs}}{540} + \left(\frac{(q_{c1N})_{cs}}{67}\right)^2 - \left(\frac{(q_{c1N})_{cs}}{80}\right)^3 + \left(\frac{(q_{c1N})_{cs}}{114}\right)^4 - 3\right]$$

Per  $z_W > z$ , con  $z_W$  profondità della falda, e per  $(q_{C1N})_{CS} \le 160$  il terreno è non liquefacibile (NL).

Il rapporto di sforzo ciclico CSR (Cyclic Stress Ratio) si determina da:

$$CSR = 0.65 \cdot \left(\frac{a_{max}}{g}\right) \cdot \left(\frac{\sigma_{v0}}{\sigma'_{v0}}\right) \cdot r_{d}$$

Dove per il coefficiente di riduzione delle tensioni **rd** si utilizza la formula, con M si indica la magnitudo:

$$r_d = \exp[\alpha(z) + \beta(z) \cdot M]$$

$$\alpha = -1,1012 - 1,126 \cdot \text{sen} \left[ \frac{z}{11,73} + 5,133 \right]$$
$$\beta = 0,106 + 0,118 \cdot \text{sen} \left[ \frac{z}{11,28} + 5,142 \right]$$

Il fattore di sicurezza alla liquefazione è definito nel modo seguente:

$$FS = \frac{CRR_{7,5}}{CSR} \cdot MSF \cdot K_{\sigma}$$

Per determinare il fattore di scala della magnitudo **MSF**, la formula di **Idriss & Boulanger** utilizza l'espressione:

$$MSF = 6.9 \cdot exp\left(-\frac{M}{4}\right) - 0.058 \le 1.8$$

Il fattore di correzione della pressione di confinamento  $K_{\sigma}$  è dato da:

$$K_{\sigma} = 1 - C_{\sigma} \cdot \ln \left( \frac{\sigma'_{v0}}{p_{a}} \right) \le 1$$

$$C_{\sigma} = \frac{1}{37.3 - 8.27 \cdot (q_{c1N})^{0.264}} \le 0.3$$

### 11.1.4 Metodo di Idriss e Boulanger (2014)

Tutti i metodi semplificati di stima del rischio di liquefazione che utilizzano i risultati di prove penetrometriche statiche sono calibrati sull'apparecchiatura a punta elettrica (CPTe). L'uso di tali metodi con i risultati di prove CPT a punta meccanica può condurre ad una sovrastima della resistenza CRR e quindi del fattore di sicurezza.

$$q_{clN} = C_N \cdot \frac{q_c}{p_a}$$

$$C_{N} = \left(\frac{p_{a}}{\sigma_{v0}^{'}}\right)^{m} \le 1.7$$

$$m = 1.338 - 0.249 \cdot (q_{elNes})^{0.264} \quad \text{con } 21 \le q_{elNes} \le 254$$

$$\begin{split} q_{c1Ncs} &= q_{c1N} + \Delta q_{c1N} \\ \Delta q_{c1N} &= \left(11.9 + \frac{q_{c1N}}{14.6}\right) \cdot \exp\left[1.63 - \frac{9.7}{FC + 2} - \left(\frac{15.7}{FC + 2}\right)^2\right] \end{split}$$

FC è il contenuto di fine espresso in %. In assenza di determinazione sperimentale di laboratorio FC può essere stimato con l'espressione empirica:

$$FC = 80 \text{ lc-}137$$

in cui lc è l'indice di classificazione del terreno da prova CPT proposto da Robertson (1990):

$$\begin{split} I_{c} &= \sqrt{(\log F + 1.22)^{2} + (\log Q_{n} - 3.47)^{2}} \\ con \\ F &= \frac{f_{s}}{q_{c} - \sigma_{v0}} \cdot 100 \end{split}$$

E Q<sub>n</sub> si ricava dalla seguente formula

$$Q_{n} = \left(\frac{q_{c} - \sigma_{v0}}{p_{a}}\right) \cdot \left(\frac{p_{a}}{\sigma'_{v0}}\right)^{m}$$

La resistenza alla liquefazione (CRR) si ricava da:

$$CRR = \exp\left[\frac{q_{c1Ncs}}{113} + \left(\frac{q_{c1Ncs}}{1000}\right)^2 - \left(\frac{q_{c1Ncs}}{140}\right)^3 + \left(\frac{q_{c1Ncs}}{137}\right)^4 - 2.80\right]$$

Mentre la MSF si ricava da:

$$\begin{split} M\,SF &= 1 + (M\,SF_{max} - 1) \Bigg[\,8.64 \,exp \Bigg(\frac{-\,M}{4}\Bigg) - 1.325\,\Bigg] \\ M\,SF_{max} &= 1.09 + \Bigg(\frac{q_{c1Ncs}}{180}\Bigg)^3 \leq 2.2 \end{split}$$

$$C_{\sigma} = \frac{1}{37.3 - 8.27(q_{clNcs})^{0.264}} \le 0.3$$

$$C_{\sigma} = \frac{1}{37.3 - 8.27 (q_{c1Ncs})^{0.264}} \le 0.3$$

$$K_{\sigma} = 1 - C_{\sigma} \cdot ln \left( \frac{\sigma'_{v}}{P_{a}} \right) \le 1.1$$

### 11.1.5 Dati di input delle verifiche a liquefazione

I dati di input utilizzati all'interno del *software* Liquiter (2024.24.5.1069) sono riportati in tabella 11.1.

La profondità della falda è stata impostata a -0,5 m dal p.c.; tale valore è stato concordato con il geologo redattore del Piano delle Pinete che lo ha utilizzato nelle verifiche a liquefazione del suddetto Piano in corso di redazione.

	Tabella 11.1							
Verifica	Località	Penetrometria di riferimento	Prof. Falda m dal p.c.	Mw	Ag	Cat. sottosuolo	Amax	
1	Catane	P2 <b>14m</b>	0,5	6,14	0,121g	С	0,1815g	
2	Marco Polo	P10 <b>15</b> m	<b>Q</b> 5	6,14	0,121g	С	0,1815g	
3	Marco Polo	P11 <b>15</b> m	Q5	6,14	0,121g	С	0,1815g	
4	Catane	P15 <b>9,8m</b>	0,5	<b>614</b>	0,121g	С	0,1815g	
5	Centro città	P22 <b>10m</b>	0,5	<b>614</b>	0,121g	С	0,1815g	
6	Piazza Guseppe Mazzini	P26 <b>20</b> m	Q5	<b>614</b>	0,121g	С	0,1815g	
7	Terminetto	P31 <b>10m</b>	Q5	614	0,121g	С	0,1815g	
8	Carbonara	P34 <b>10m</b>	0,5	<b>614</b>	0,121g	С	0,1815g	
9	Terminetto	P38 <b>11,6m</b>	0,5	<b>614</b>	0,121g	С	0,1815g	
10	Molo E Guidotti	P40 <b>15,48</b> m	0,5	<b>614</b>	0,121g	С	0,1815g	
11	Piazza Guseppe Mazzini	P42 <b>15,18</b> m	Q5	<b>614</b>	0,121g	С	0,1815g	
12	Piazza Maria Luisa	P45 <b>15,18</b> m	Q5	614	0,121g	С	0,1815g	
13	Terrazza della Repubblica	P47 <b>15,96</b>	<b>Q</b> 5	6,14	0,121g	С	0,1815g	
14	Terminetto	P59 <b>15m</b>	<b>Q</b> 5	6,14	0,121g	С	0,1815g	
15	Ex Campo d'Aviazione	P74 <b>10</b> m	<b>Q</b> 5	6,14	0,121g	С	0,1815g	
16	Bochio	P89 <b>9,6m</b>	0,5	6,14	0,121g	С	0,1815g	

17	Mgliarina (depuratore)	P90 <b>8m</b>	0,5	6,14	0,121g	С	0,1815g
18	Mgliarina (depuratore)	P96 <b>7,6</b> m	0,5	6,14	0,121g	С	0,1815g

### 11.1.6 Risultati delle verifiche a liquefazione e considerazioni finali

La Tavola Q.G 1.9 mette a confronto i risultati delle verifiche a liquefazione eseguite a supporto del presente Piano Strutturale, con quelle eseguite sia dallo studio della Regione Toscana (Relazione conclusiva, Lo Presti & Tognotti, 2018) che dagli studi del Piano Attuativo delle Pinete (in corso di redazione).

I metodi utilizzati per le verifiche relative al presente studio hanno portato ad una grande variabilità in termini di risultati relativi all'Indice di Potenziale di Liquefazione.

Per questo motivo, in accordo con gli uffici tecnici del Genio Civile di Lucca, oltre che con i professionisti incaricati di redigere il Piano Attuativo delle Pinete, è stato deciso di utilizzare gli indici di liquefazione (IPL) derivati dal metodo di Robertson & Wride (1998). Le classi di distinzione dell'IPL sono state stabilite utilizzando la relazione di lwasaki (1982) e Sonmez (2003).

I risultati ottenuti dal *software* Liquiter mostrano che la quasi totalità del territorio comunale è caratterizzata dalla presenza di depositi non liquefacibili, in quanto le verifiche hanno fornito valori di IPL < 2.

Tuttavia, nelle verifiche condotte nel Piano Attuativo delle Pinete, e da altre condotte su CPTu eseguite lungo il litorale costiero, sono emersi valori di 5<IPL<15, indicando come certe zone del territorio presentino un potenziale di liquefazione Alto (Sonmez, 2003).

Queste aree sono caratterizzate dalla presenza di depositi superficiali sabbiosi poco o mediamente addensati al di sotto dei quali non è stato riscontrato (in base ai *report* delle indagini geognostiche a disposizione) il livello di sabbie da addensate a molto addensate, potente da 5 a 15m, che invece è stato rinvenuto nel substrato delle aree più interne del territorio comunale.

I risultati delle singole verifiche a liquefazione sono riportati in Tavola QG 1.9, dove sono state delineate 3 zone in cui, in base al valore di IPL calcolato dal software, potrebbero generarsi degli effetti legati a fenomeni di liquefazione del terreno post evento sismico.

Tuttavia, si vuole ricordare come per il territorio di Viareggio (così come per la zona della Versilia) non siano presenti testimonianze storiche riguardo accadimenti di questo fenomeno; infine, come già accennato, è stata osservata anche una estrema variabilità dei risultati a seconda dei metodi di verifica utilizzati.

# CARTA DELLE MICROZONE OMOGENEE IN PROSPETTIVA SISMICA (MOPS) E DELLE COLONNE MOPS - TAVOLA Q.G 1.10

Il D.P.G.R. 30/01/2020 n. 5/R prevede che nell'ambito dell'aggiornamento del quadro conoscitivo del Piano Strutturale sia realizzato uno studio di Microzonazione Sismica (MS) di livello 1 nel caso in cui non siano disponibili studi precedenti, e/o di livello 2 nel caso in cui sia già disponibile uno studio di livello 1.

Il comune di Viareggio era già dotato di studi di microzonazione sismica di primo livello, redatti nel 2018 con il precedente Regolamento Urbanistico. In conseguenza dell'aggiornamento del quadro conoscitivo geologico-tecnico e geomorfologico, e a seguito dell'acquisizione di nuovi dati geognostici e sismici, si è reso necessario rivedere ed aggiornare i suddetti studi di microzonazione sismica di primo livello, e redigere gli studi di microzonazione di secondo livello come disposto dal D.P.G.R. 30/01/2020 n. 5/R.

E' stata quindi redatta una nuova carta MOPS, che individua le microzone omogenee nelle quali, sulla base di osservazioni geologiche, geomorfologiche e dei dati derivati da indagini sismiche, è prevedibile l'occorrenza di diverse tipologie di effetti prodotti dall'azione sismica (come ad esempio amplificazione e liquefazione).

Nello specifico delle aree studiate, le microzone individuate rientrano tutte all'interno delle "Zone stabili suscettibili di amplificazione locali", e sono state identificate in Tavola QG 1.10 mediante l'uso di un retino a tinta unita.

Le microzone nelle quali si possono avere effetti prodotti dall'azione sismica, come nel caso della liquefazione, sono state identificate in carta utilizzando un sovrastante retino trasparente.

Secondo quanto definito nel documento 'Linee guida per la gestione del territorio in aree interessate da liquefazione (LQ) – versione 1.0 (Roma, 2007), le zone dove si possono registrare questi effetti possono essere ulteriormente suddivise in zone di attenzione alla liquefazione (ZAlq) e zone di suscettibilità alla liquefazione (ZSlq).

Il documento riferisce come la distinzione fra ZAIq e ZSIq avviene in base al valore dell'Indice Potenziale di Liquefazione IPL ottenuto dalla verifiche di liquefazione eseguite. Nel caso di IPL < 2 la zona corrispondente è la ZAIq; nel caso di 5<IPL<15 la zona da attribuire è la ZSIq.

Infine, la classificazione sismica redatta dalla Regione Toscana (D.G.R.T. Del 26 maggio 2014, n. 421), che aggiorna il quadro precedentemente definito dal O.P.C.M. 3274/2003 e dalla D.G.R.T. 461/2006, conferma il Comune di Viareggio nella Zona 3.

### 12.1 Zone stabili suscettibili di amplificazione

All'interno di questa classe rientrano la totalità delle microzone individuate per il territorio in esame.

Ad ogni zona individuata corrisponde una colonna stratigrafica, caratterizzata da unità geologiche individuate utilizzando la classificazione dettata dagli standard di rappresentazione ed informatizzazione informativa versione 4.2.

Nella carta delle MOPS del precedente Regolamento Urbanistico furono distinte 3 microzone omogenee (Z6, Z8 e Z13). In questo studio, a partire dell'osservazione di un gran numero di indagini geognostiche a disposizione, è stato possibile aggiornare e suddividere l'area del comune di Viareggio in 5 zone (2001, 2002, 2003, 2004 e 2005).

La numerazione delle zone fornita nel precedente strumento di pianificazione non è stata mantenuta, in quanto è stato necessario aggiornarla nel rispetto degli standard di rappresentazione grafica e di informatizzazione informatica versione 4.2.

Le microzone 2001 e 2002 sono state classificate come 'Zone di Attenzione per liquefazione (ZAIq)'; gli studi di microzonazione sismica di livello 2, inoltre, hanno consentito di perimetrare delle aree all'interno delle zone 2001 e 2002 che ricadono nelle 'Zone di Suscettibilità alla Liquefazione (ZsIq)'.

Per maggiori dettagli si rimanda alla Tavola QG 1.10 "Carta delle MOPS".

Di seguito si riportano le descrizioni delle colonne stratigrafiche rappresentative delle microzone MOPS. Le colonne sono riportate in veste grafica nella Tavola QG 1.10 "Colonne Stratigrafiche MOPS".

ZONE	Descrizione generale	Considerazioni inerenti le valutazioni di frequenza- velocità sismica	Misure di frequenza	Misure di Vs	Ambito abaco utilizzato (ambiti Vs cop. e F0)	FA 0105
2001	Caratterizzata alla base da un potente spessore di argille e silt (CL) di cordone litoraneo, il quale è sovrastato da un livello di argille (CL) di origine lacustre. Risalendo la stratigrafia si trovano sabbie (SP) da poco a mediamente addensate, localmente interrotte da depositi ghiaiosi. Chiude la colonna stratigrafica un orizzonte di sabbie sciolte recenti di ambiente costiero (SP).	I valori di Vs <sub>eq</sub> della copertura si attestano sui 200 m/s o poco al di sotto, sulla base delle indagini sismiche a disposizione.  Sono stati registrati picchi di amplificazione abbastanza monotoni con valori di f0 da 0,2 a 0,5 Hz e valori di A da 0,8 a 9,7	P44 0,5Hz A0,8 P321 0,2Hz A9,7	L8 183 m/s (Vs 30)  L25 200 m/s (Vs 30)	Abaco > 30m Vs=200 m/s f0=non significativo, assunto <1Hz	1,3
2002	Caratterizzata alla base da un potente spessore di argille e silt (CL) di cordone litoraneo, il quale è sovrastato da un modesto livello di argille (CL) di origine lacustre. Chiudono la stratigrafia delle sabbie (SP) da poco a mediamente addensati, localmente interrotte da depositi ghiaiosi.	I valori di Vs <sub>eq</sub> della copertura si attestano sui 200 m/s o poco al di sopra, sulla base delle indagini sismiche a disposizione.  Sono stati registrati picchi di amplificazione abbastanza monotoni con valori di f0 da 0,3 a 0,5 Hz e valori di A da 1,8 a 4,8	P351 0,4Hz A1,8 P54 0,3Hz A4,8	L26 265 m/s (Vs 30)  L4 204 m/s (Vs 30)	Abaco >30m Vs=300 m/s f0=non significativo, assunto <1Hz	1,2

ZONE	Descrizione generale	Considerazioni inerenti le valutazioni di frequenza- velocità sismica	Misure di frequenza	Misure di Vs	Ambito abaco utilizzato (ambiti Vs cop. e F0)	FA 0105
2003	Caratterizzata alla base da un potente livello di argille e silt (CL) di origine da cordone litoraneo, il quale è sovrastato da un livello di argille (CL) di ambiente lacustre. Risalendo la stratigrafia si trovano sabbie (SP) da poco a mediamente addensate, all'interno delle quali si ritrovano dei livelli di sabbie da addensate a molto addensate. Chiudono la colonna stratigrafica sabbie fini e medie di ambiente litoraneo (SP)	I valori di Vseq della copertura si attestano poco al di sotto dei 200 m/s, sulla base delle indagini sismiche a disposizione.  Sono stati registrati picchi di amplificazione abbastanza monotoni con valori di f0 da 0,3 a 0,5 Hz e valori di A da 2,1 a 9,8	P330 0,3Hz A4,2 P112 0,5Hz A5	L21 194 m/s (Vs 30)	Abaco >30m Vs=300 m/s f0=non significativo, assunto <1Hz	1,3
2004	Caratterizzata alla base da un potente livello di argille <i>e silt</i> (CL) di origine da cordone litoraneo, il quale è sovrastato da un livello di argille (CL) di ambiente lacustre. Risalendo la stratigrafia si trovano sabbie fini e medie (SP), da poco a mediamente addensate, interrotte da livelli di sabbie da addensate a molto addensate. Al di sopra di questo livelli si ritrovano sabbie fini e medie di ambiente litoraneo. Chiudono la colonna stratigrafica sabbie recenti sciolte di ambiente costiero (SP).	I valori di Vs <sub>eq</sub> della copertura si attestano al di sopra dei 200 m/s, sulla base delle indagini sismiche a disposizione.  Sono stati registrati picchi di amplificazione abbastanza monotoni con valori di f0 da 0,3 a 0,5 Hz e valori di A da 2,1 a 9,8	P342 0,5Hz A2,1 P323 0,3Hz A9,8	L5 233 m/s (Vs 30)  L23 205 m/s (Vs 30)  L13 213 m/s (Vs 30)  L3 253 m/s (Vs 30)	Abaco >30m Vs=300 m/s f0=non significativo, assunto <1Hz	1,2

ZONE	Descrizione generale	Considerazioni inerenti le valutazioni di frequenza- velocità sismica	Misure di frequenza	Misure di Vs	Ambito abaco utilizzato (ambiti Vs cop. e F0)	FA 0105
2005	Caratterizzata alla base da un potente livello di argille <i>e silt</i> (CL) di origine da cordone litoraneo, il quale è sovrastato da un livello di argille (CL) di ambiente lacustre. Risalendo la stratigrafia si trovano sabbie fini e medie (SP), da poco a mediamente addensate, interrotte da livelli di sabbie da addensate a molto addensate. Al di sopra di questo livelli si ritrovano sabbie fini e medie di ambiente litoraneo. Chiudono la colonna stratigrafica livelli di torbe e terre organiche (PT) di ambiente lacustre.	I valori di Vs <sub>eq</sub> della copertura si attestano al di sopra dei 200 m/s, sulla base delle indagini sismiche a disposizione.  Sono stati registrati picchi di amplificazione abbastanza monotoni con valori di f0 da 0 a 0,4 Hz e valori di A da 2,1 a 13,9	P53 0,4Hz A2,1 P329 0,4Hz A9,5	L20 238 m/s (Vs 30)  L10 266 m/s (Vs 30)	Abaco >30m Vs=300 m/s f0=non significativo, assunto <1Hz	1,2

# CARTA DI MICROZONAZIONE SISMICA DI SECONDO LIVELLO TAVOLA Q.G 1.11, TAVOLA Q.G 1.12 E TAVOLA Q.G 1.13

Le Tavole Q.G. 1.11, Q.G. 1.12 e Q.G. 1.13 presentano gli esiti dello studio di microzonazione sismica di secondo livello. Ciascuna tavola mostra i fattori di amplificazione di sito prendendo in esame periodi differenti di oscillazioni (T) delle strutture tra 0,1<T<0,5s (Tavola Q.G. 1.11), 0,4<T<0,8s (Tavola Q.G. 1.12) e 0,7<T<1,1s (Tavola Q.G. 1.13).

Considerando il contesto edilizio del territorio in esame, l'ambito del periodo T di interesse significativo a fini urbanistici è quello rappresentato nella Tavola QG 1.11 (0,1 - 0,5 secondi); pertanto proprio questo elaborato rappresenta la base per la redazione della carta di Pericolosità Sismica locale (Tavola Q.G 1.14).

Per la realizzazione di queste carte risulta fondamentale la disponibilità di dati (f0 e Vs) necessari per una corretta applicazione degli appositi abachi.

Difatti, per la definizione del fattore di amplificazione sismica nelle aree analizzate si è fatto uso degli abachi regionali che, tramite un approccio semplificato, consentono di quantificare l'amplificazione attesa nelle zone "stabili suscettibili di amplificazione".

Tali abachi si differenziano sulla base dei seguenti fattori:

- 1. Area geografica;
- 2. Tipologia dell'input sismico;
- 3. Presenza di substrato sismico a profondità maggiore o minore a 30m;
- 4. Tipo di fattore di amplificazione.

Il Comune di Viareggio fa parte della Macroarea Toscana Costiera i cui abachi di riferimento sono riportati in figura 13.1, successiva.

Per la realizzazione della Carta MS si è pertanto proceduto ad assegnare alle varie Microzone, individuate nello studio di Livello 1, i valori del Fattore di Amplificazione secondo la procedura indicata nelle Specifiche Tecniche Regionali (2021).

Il fattore di amplificazione (fattore di amplificazione di Housner – FA), che si distingue in FA (0,1-0,5 s), FA (0.4-0.8 s) e FA (0.7-1.1 s) è funzione delle classi relative ai valori dei due parametri rappresentativi dalla situazione sismo-stratigrafica locale ovvero della frequenza fondamentale (f0) e della velocità media Vs30/Vsh.

Per ciascuna Microzona sono state definite le condizioni al contorno (Ag e profondità del substrato) ed individuate le misure di rumore presenti nonché le indagini sismiche utili alla definizione della Vs necessarie alla determinazione delle classi di frequenza e velocità per l'utilizzo degli abachi.

Figura 13.1: Abaco di riferimento Toscana Costiera

### Toscana costiera



		<1	1.5	2.5	3.5	4.5	5.5	6.5	7.5	≥8	75° perc.
	<200	1.3	1.4	2.1							1.4
1	300	1.2	1.4	1.7	1.7	1.8	1.5	1.5	1.1	1.7	1.4
Vs30 (m/s)	500	1.0	1.2	1.3	1.5	1.5	1.4	1.2	1.5	1.3	1.2
S	700	0.9	1.1	1.3			1.4	0.9	1.2	1.1	1.0
	≥800	0.8	0.8						-		0.8

			f0 (Hz)								
		<1	1.5	2.5	3.5	4.5	5.5	6.5	7.5	≥8	75° perc
	<200	1.8	2.2	2.9							2.0
ج ا	300	1.4	1.9	2.1	1.7	1.6	1.5	1.5	1.1	1.6	1.6
Vs30 (m/s)	500	1.2	1.4	1.4	1.5	1.3	1.2	1.1	1.2	1.2	1.3
m/s)	700	1.1	1.3	1.5			1.5	0.9	1.1	1.1	1.1
	≥800	0.9	0.9								0.9

		f0 (Hz)									
		<1	1.5	2.5	3.5	4.5	5.5	6.5	7.5	≥8	75° perc.
	<200	2.1	2.7	2.6							2.5
s	300	1.5	1.9	1.8	1.5	1.7	1.7	1.5	1.1	2.2	1.6
Ve30 (m/e)	500	1.3	1.6	1.4	1.6	1.3	1.2	1.2	1.2	1.2	1.3
	700	1.1	1.5	1.3			1.4	0.9	1.0	1.2	1.2
1	≥800	1.0	1.0								1.0

## **CLASSI**

V6	1	/s<200
	300	200≤Vs<400
	500	400≤Vs<600
	700	600≤Vs<800
	,	/s≥800

1≤f0<2
2≤f0<3
3≤f0<4
4≤f0<5
5≤f0<6
6≤f0<7
7≤f0<8

# CARTA DELLA PERICOLOSITA' SISMICA – TAVOLA Q.G 1.4

La sintesi di tutte le informazioni derivanti dagli studi microzonazione sismica di livello 1 e di livello 2 hanno consentito di valutare le condizioni di pericolosità sismica all'interno delle aree MOPS secondo i criteri dettati dal D.P.G.R. n. 5/R del 2020, di seguito elencati:

## Pericolosità sismica molto elevata (S4):

- aree interessate da deformazioni legate alla presenza di faglie attive e capaci, in grado di creare deformazione in superficie (non presenti nelle zone di studio);
- terreni suscettibili di liquefazione dinamica accertati mediante indagini geognostiche oppure notizie storiche o studi preesistenti;
- aree interessate da instabilità di versante attive e relativa area di evoluzione, tali
  da subire un'accentuazione del movimento in occasione di eventi sismici (non
  presenti nelle zone di studio).

## Pericolosità sismica locale elevata (S.3):

- aree con terreni di fondazione particolarmente scadenti che possono dar luogo a cedimenti rilevanti;
- aree potenzialmente suscettibili di liquefazione dinamica, caratterizzate da terreni per i quali, sulla base delle informazioni disponibili, non è possibile escludere a priori il rischio di liquefazione;
- zone di contatto tra litotipi con caratteristiche fisico-meccaniche significativamente diverse (non presenti nelle zone di studio);
- zone stabili suscettibili di amplificazioni locali, connesse con un alto contrasto di impedenza sismica atteso entro alcune decine di metri dal piano di campagna (non presenti nelle zone di studio);
- zone stabili suscettibili di amplificazioni locali con fattore di amplificazione (Fx) >
   1.4 (non presenti nelle zone di studio);
- aree interessate da instabilità di versante quiescente, relative aree di evoluzione, nonché aree potenzialmente franose, di seguito, e come tali, suscettibili di riattivazione del movimento in occasione di eventi sismici (non presenti nelle zone di studio).

## Pericolosità sismica locale media (S.2):

- zone stabili suscettibili di amplificazioni locali connessi con contrasti di impedenza sismica attesa oltre alcune decine di metri dal piano campagna e con frequenza fondamentale del terreno indicativamente inferiore a 1hz;
- zone stabili suscettibili di amplificazioni locali con fattore di amplificazione (Fx) <</li>
   1.4;

- zone stabili suscettibili di amplificazione topografica (pendii con inclinazione superiore a 15 gradi) (non presenti nelle zone di studio).;
- zone stabili suscettibili di amplificazioni locali, non rientranti tra quelli previsti nelle classi di pericolosità sismica S.3;

## Pericolosità sismica locale bassa (S.1):

 zone stabili caratterizzate dalla presenza di litotipi assimilabili al substrato rigido in affioramento con morfologia pianeggiante o poco inclinata (pendii con inclinazione inferiore a 15 gradi), dove non si ritengono probabili fenomeni di amplificazione o instabilità indotta dalla sollecitazione sismica (non presenti nelle zone di studio).

Dall'analisi della Tavola Q.G 1.14 risultano essere prevalenti le classi di pericolosità sismica elevata (S.3) e pericolosità sismica locale media (S.2). A seguito delle verifiche a liquefazione è stato possibile, inoltre, identificare alcune zone che ricadono in classe di pericolosità sismica locale molto elevata (S.4).

La classe di pericolosità sismica S.2 ricomprende la parte centrale del territorio comunale, caratterizzata, per quanto riguardo il substrato, dalla presenza di uno spessore modesto di sabbie da addensate a molto addensate.

La classe di pericolosità sismica S.3 è stata attribuita ad una fascia di litorale interposta fra Marina di Torre del Lago e la foce del Fiume Camaiore. Un'altra area ricadente nella stessa classe di pericolosità è in prossimità del lago di Massaciuccoli, dove sono presenti torbe e terre organiche che presentano caratteristiche geotecniche scadenti.

Le aree ricadenti in classe di pericolosità S.4 comprendono 3 porzioni di territorio poste nella zona settentrionale del Comune, corrispondenti a parte del litorale costiero ed alcune aree molto ristrette all'interno della Pineta di Ponente.

## 15 SALVAGUARDIE DEL TERRITORIO

Ad integrazione di quanto dettato dalle normative sovraordinate, di seguito si elencano una serie di limitazioni che si intendono prescrittive in attesa della redazione del Piano Operativo.

## 15.1 Invarianza idraulica

- a. Ogni trasformazione del suolo deve garantire il mantenimento di una superficie scoperta permeabile, cioè tale da consentire l'assorbimento anche parziale delle acque meteoriche, pari ad almeno il 25% della superficie fondiaria (rapporto di permeabilità pari al quoziente tra la Superficie permeabile di pertinenza fratto la superficie fondiaria), come stabilito dal DPGR n.64/R/2013, e comunque secondo quanto normato nelle NTA.
- b. In occasione di ogni trasformazione di realizzazione o di adeguamento, di piazzali, parcheggi, elementi di viabilità pedonale o meccanizzata, devono essere adottate modalità costruttive che consentano l'infiltrazione, oppure la ritenzione, anche temporanea, delle acque meteoriche. Può essere fatta eccezione soltanto per dimostrati motivi di sicurezza ovvero di tutela di interessi storico-ambientali.
- c. I progetti delle trasformazioni comportanti la realizzazione di superfici impermeabili o parzialmente permeabili, o che prevedano modifiche di uso e/o utilizzo del suolo devono prevedere il rispetto dell'invarianza idraulica. Sono esenti dal realizzare la relazione sull'invarianza idraulica quegli interventi che comportano un incremento della superficie impermeabile sino a 10 mq a condizione che realizzino un volume di invarianza di almeno 0,5 mc. Per interventi che realizzino fino a 100 mq di superficie di nuova impermeabilizzazione il volume di invarianza può essere gestito secondo modalità di ritenzione e progressiva laminazione e restituzione usualmente adottate (vasche e tubazioni di raccolta e laminazione con fondo perdente e/o con bocca tarata etc.).
- d. Il volume minimo di cui al comma precedente derivante dalle nuove impermeabilizzazioni e soggetto a invarianza idraulica deve essere calcolato secondo la procedura ritenuta idonea e giustificata dal professionista nella specifica relazione idraulica di accompagnamento al progetto.
- e. Possono essere adottate soluzioni alternative a quella della realizzazione del volume d'invaso di cui ai commi precedenti, purché si dimostri la pari efficacia in termini di mantenimento dei colmi di portata di piena ai valori precedenti l'impermeabilizzazione o trasformazione dei suoli. A tal fine il proponente dovrà corredare il progetto di un'apposita documentazione idrologica ed idraulica.
- f. Della sussistenza delle condizioni di invarianza idraulica richiamate ai punti precedenti deve essere dato atto nel procedimento amministrativo relativo al titolo abilitativo all'attività edilizia.

## 15.2 Fognature

- a. Le reti fognarie di nuova realizzazione per le acque bianche dovranno essere progettate per favorire il massimo invaso di acqua, ottenibile attraverso ampie dimensioni, ridotta profondità (in modo da mantenerle vuote nei periodi asciutti) e bassa pendenza (per ridurre la velocità del flusso).
- b. E' vietato il convogliamento delle acque raccolte dai pluviali delle coperture in fognatura o nei corsi d'acqua, quando sia tecnicamente possibile il loro convogliamento in aree permeabili, senza determinare fenomeni di ristagno e/o di instabilità. Qualora ciò non fosse possibile potranno essere immesse in fognatura o nei corsi d'acqua, prevedendo a monte sistemi di laminazione del picco di piena, valutato per eventi con tempo di ritorno ventennale (Tr20) di durata oraria (1h) o secondo metodi di comprovata validità e provvedendo preventivamente alla richiesta delle necessarie autorizzazioni da parte degli enti competenti.
- c. Qualora sia previsto il convogliamento delle acque defluenti dalle fosse campestri nella fognatura pubblica, dovranno essere previsti manufatti per l'abbattimento del trasporto solido per preservare nel tempo la funzionalità delle condotte sotterranee.

## 15.3 Vulnerabilità dell'acquifero a fenomeni di intrusione salina

- a. Nelle aree identificate nella Tavola QG 1.3.3 "Carta delle problematiche idrogeologiche", con la sigla IS1 ed IS2 valgono le limitazioni di cui al Piano di Gestione delle Acque (2021-2027 III ciclo) dell'Autorità distrettuale dell'appennino settentrionale.
- b. Nella stessa tavola sono identificati gli areali per i quali, sulla base della campagna di misurazione eseguita nel dicembre 2023 e nell'aprile 2024, la conducibilità dell'acquifero superficiale risulta maggiore di 1000 microsiemens. In tali aree è necessario porre l'attenzione alle quantità ed alla qualità della risorsa idrica sotterranea. A tale riguardo, fermo restando i condizionamenti e le limitazioni imposte dalle normative sovraordinate, si prescrive di limitare i nuovi prelievi/emungimenti delle acque di falda nelle portate e nei tempi, e di effettuare una valutazione ambientale dei nuovi prelievi/emungimenti dai corpi idrici sotterranei, a qualunque uso richiesti, in conformità agli obiettivi di tutela del Piano di Gestione delle Acque dell'Appennino Settentrionale per attestare la fattibilità dell'intervento. Tale valutazione ha lo scopo di stabilire le condizioni per il prelievo di acqua da corpi idrici sotterranei, in modo da non deteriorare le condizioni dell'area.

- c. Nelle aree di cui alla lettera b, non potranno essere attivati nuovi emungimenti dal sottosuolo, né incrementati quelli esistenti, compresi gli emungimenti temporanei realizzati per gli scavi sotto falda, ad esclusione di quelli con profondità inferiore a 1.5 m dalla superficie libera della falda e/o di quelli i cui effetti siano annullabili attraverso impianti di reimmissione o limitazione delle portate emunte.
- d. Per l'intero territorio comunale devono essere incentivate soluzioni alternative di approvvigionamento idrico quali: riciclo di acque interne e/o esterne (da impianti di depurazione), il riuso consortile.

## 15.4 Pozzi

- a. Al fine di tutelare la risorsa idrica sotterranea, si rimarca in generale la necessità che siano gestiti gli emungimenti sotterranei in maniera tale da evitare in particolare fenomeni di aggravamento del quadro relativo alla intrusione del cuneo salino e alla propensione alla subsidenza. In questo senso tutti gli emungimenti ed in funzione del loro utilizzo, dovranno essere autorizzati preventivamente dalla Regione Toscana previo studio idrogeologico e tecnico redatto in conformità alla normativa vigente in materia e assoggettati a specifica valutazione ambientale con limitazioni della portata istantanea e dei quantitativi prelevabili.
- b. Negli allegati agli indirizzi del Piano Gestione Acque dell'Autorità di Bacino Distrettuale dell'Appennino Settentrionale si evidenzia, a questo proposito, la Scheda norma 7 Limitazioni temporanee alle derivazioni da acque superficiali e sotterranee dal bacino del lago di Massaciuccoli che disciplina le disposizioni relative alle acque sotterranee e superficiali a cui attenersi per tutto il territorio del Comune di Viareggio ricadente all'interno del bacino del lago di Massaciuccoli.
- c. La realizzazione di nuovi pozzi, esclusivamente nelle aree esterne alla perimetrazione di cui alla conducibilità > 1.000 *microsiemens*, è soggetta a quanto definito dal T.U. n. 1775/1933, dal D.P.G.R. 61/R/2016 e dalle norme del Piano di Gestione delle Acque PGA (2021-2027 III ciclo) dell'Autorità distrettuale dell'Appennino Settentrionale.
- d. Intorno ai pozzi per qualsiasi utilizzo, dovrà essere mantenuta una fascia di rispetto minima di 30 m all'interno della quale sono vietati lo scarico diretto nel terreno tramite subirrigazione o pozzi assorbenti, la fertirrigazione, lo spandimento di acque vegetative nonché la realizzazione di lagoni di accumulo di liquami, di strutture interrate di deposito o magazzinaggio di prodotti chimici e simili.

## 15.5 Viabilità

- a. La realizzazione di nuova viabilità non dovrà costituire ostacolo al normale deflusso delle acque superficiali. Eventuali rilevati stradali dovranno essere corredati da specifici studi che prevedano la ricucitura del reticolo idrografico minore ed analizzino l'interazione del nuovo manufatto con la distribuzione delle acque in caso di esondazione dai corsi d'acqua limitrofi.
- b. La realizzazione di nuove strade o accessi carrabili (in rilevato e non) dovrà mantenere inalterata l'efficienza del reticolo idrografico, verificando le sezioni idrauliche preesistenti ed intervenendo in caso di insufficienza.
- c. Da tali studi dovranno emergere le soluzioni da adottare per non incrementare il livello di rischio idraulico nelle aree circostanti.
- d. Per le aree interessate da pericolosità da alluvione, vale quanto previsto dalla L.R. 41/2018

## 15.6 Reticolo idrografico minore

- a. Per gli interventi riguardanti i corsi d'acqua inseriti nel Reticolo Idrografico e di gestione della Regione Toscana, vale quanto previsto dalla L.R. 79/2012 e dalla L.R. 41/2018.
- b. Qualunque intervento che modifichi l'assetto originario del reticolo idrografico minore esterno al Reticolo individuato dalla L.R. 79/2012 (sul quale gli interventi sono di competenza regionale) dovrà essere supportato da uno studio che dimostri la funzionalità del sistema drenante e le eventuali modifiche da apportare. L'indagine dovrà essere estesa all'area scolante attraverso un rilievo di dettaglio, in modo da definire i rapporti gerarchici tra le varie linee di drenaggio delle acque superficiali.
- c. Anche i tombamenti, laddove ammissibili, nonché preventivamente autorizzati, di ogni dimensione e lunghezza, in aree urbane o agricole, dovranno essere opportunamente dimensionati e supportati da apposito progetto che dimostri la funzionalità dell'opera.
- d. I proprietari dei fondi interessati da corsi d'acqua o linee di drenaggio sono tenuti alla loro manutenzione senza apportare modifiche alle caratteristiche funzionali, nonché al ripristino delle stesse nei casi di non funzionamento. Sui corsi d'acqua non ricompresi nel Reticolo Idraulico definito ai sensi della L.R. 79/2012, nonché sulle fossette campestri, gli interventi di alterazione del tracciato e/o di copertura dell'alveo potranno avvenire solo per comprovata necessità e dovranno essere opportunamente dimensionati e supportati da apposito progetto che dimostri la funzionalità dell'opera. Eventuali solchi da erosione venutisi a creare in seguito ad eventi anche eccezionali dovranno

- prontamente essere ripristinati, avendo cura di aumentare il volume delle affossature, per evitare il ripetersi del fenomeno.
- e. In generale tutti gli interventi non dovranno essere limitati alla conservazione dello stato attuale ma prevedere il miglioramento dell'assetto idraulico complessivo previo rilascio delle necessarie autorizzazioni da parte degli enti preposti.

## 15.7 Costruzioni interrate sotto falda

La messa in opera di impianti di abbattimento temporaneo della falda freatica, funzionali alla realizzazione di scavi temporanei deve essere autorizzata dalla Regione Toscana ai sensi del Regolamento di Attuazione dell'art. 11 commi 1 e 2 della LR 80/2015 – norme in materia di difesa del suolo, tutela delle risorse idriche e tutela della costa e abitati costieri. Nello studio idrogeologico per la realizzazione dell'impianto di abbattimento temporaneo della falda, dovranno essere valutati gli effetti che la depressione della falda comporta su edifici e opere limitrofe, nei confronti della subsidenza e del cuneo salino rispettando le prescrizioni di cui al PGA dell'Autorità di Bacino Distrettuale dell'Appennino Settentrionale nonché le limitazioni imposte nel caso in cui si ricada in aree vulnerate con conducibilità > 1.000 microsiemens (ammessi gli emungimenti temporanei realizzati per gli scavi sotto falda con profondità massima inferiore a 1,5 m dalla superficie libera della falda e/o quelli i cui effetti siano annullabili attraverso impianti di reimmissione o limitazione delle portate emunte).

Ponsacco 08/07/2025 Geol. Emilio Pistilli



Codice ID	Nome documento	Pagina	Codice nel documento
P1	P1		S1 DH
P2	P2		CPT2
P3	P3		CPT4
P4	P4		CPT1pz
P5	P5		CPT3
P6	P6		S2pz
P7	P7		S1 DH
P8	P8		DH
P9	P9		S1
P10	P10		CPT1
P11	P11		CPT2
P12	P12		HVSR4
P13	P13		4
P14	P14		2
P15	P15		3
P16	P16		
			1
P17	P17		5
P18	P18		HVSR1
P19	P19		DPSH1
P20	P20		CPTu1
P21	P21		1
P22	P22		CPT1
P23	P23		HVSR 1
P24	P24		S1
P25	P25		S1
P26	P26		Ps 1
P27	P27		Pd3
P28	P28		Pd2
P29	P29		PS.1
P30	P30		PS.2
P31	P31		PS.3
P32	P32		CPTE-1
P33	P33		CPT1/CPT2
P34	P34		CPT1/CPT2
P35	P35		HSVR 1
P36	P36		
P37	P37		
P38	P38		PS.1
P39	P39		HVSR 5
P40	P40		CPTu 04
P41	P41		HVSR 4
P42	P42		CPTu 03
P43	P43		HVSR 3
P43	P43		HVSR 2
P45	P45		CPTu 02
P46	P46		HVSR 1
P47	P47		CPTu 01
P48	P48		<u> </u>
P49	P49		S1
P50	P50		TR1
P51	P51		TR1
P52	P52		TR2
P53	P53		TR1
P54	P54		TR1
P55	P55		TR1

Codice ID	Nome documento	Pagina	Codice nel documento
P56	P56		CPT1
P57	P57		TR1
P58	P58		PP1
P59	P59		CPT1
P60	P60		S2
P61	P61		T1
P62	P62		T2
P63	P63		CPT2
P64	P64		S1
P65	P65		CPT3
P66	P66		Т3
P67	P67		S2_SPT1
P68	P68		S2_SPT2
P69	P69		S1_SPT1
P70	P70		S1_SPT2
P71	P71		S2
P72	P72		S1
P73	P73		Prova penetrometrica DM030 n.1
P74	P74		Ps1
P75	P75		Ps2
P76	P76		Pd1
P77	P77		Ps3
P78	P78		Ps4
P79	P79		S1
P80	P80		Tr2
P81	P81		Tr1
P82	P82		
P83	P83		C1
P84	P84		Italmaco
P85	P85		La Madonnina
P86	P86		La Madonnina
P87	P87		S1
P88	P88		HVSR1
P89	P89		CPT 1
P90	P90		CPT1
P91	P91		Tr1
P92	P92		DPSH5
P93	P93		C1
P94	P94		C1
P95	P95		DPSH6
P96	P96		CPT2a
P97	P97		DPSH2b
P98	P98		Tr 2
P99	P99		CPT4
P100	P100		CPT3 C1
P101	P101		
P102	P102		Depuratore
P103	e17_indagine hvsr	8	HVSR1
P104	e17_indagine hvsr	12	HVSR2
P105	e17_indagine hvsr	16	HVSR3
P106	e17_indagine hvsr	20	HVSR4
P107	e17_indagine hvsr	24	HVSR5
P108	e17_indagine hvsr	28	HVSR6
P109	e17_indagine hvsr	32	HVSR7
P110	e17_indagine hvsr	36	HVSR8
P111	e17_indagine hvsr	40	HVSR9
P112	e17_indagine hvsr	44	HVSR10
P113	e16 fascicolo indagini.pdf	21	2

Codice ID	Nome documento	Pagina	Codice nel documento
P114	e16 fascicolo indagini.pdf	22	3
P115	e16 fascicolo indagini.pdf	23	6
P116	e16 fascicolo indagini.pdf	24	7
P117	e16 fascicolo indagini.pdf	25	8
P118	e16 fascicolo indagini.pdf	26	9
P119	e16 fascicolo indagini.pdf	27	11
P120	e16 fascicolo indagini.pdf	28	12
P121	e16 fascicolo indagini.pdf	29	13
P122	e16 fascicolo indagini.pdf	31	15
P123	e16 fascicolo indagini.pdf	30	14
P124	e16 fascicolo indagini.pdf	32	16
P125	e16 fascicolo indagini.pdf	33	17
P126	e16 fascicolo indagini.pdf	34	18
P127	e16 fascicolo indagini.pdf	35	20
P128	e16 fascicolo indagini.pdf	36	21
P129	e16 fascicolo indagini.pdf	37	22
P130	e16 fascicolo indagini.pdf	38	23
P131	e16 fascicolo indagini.pdf	39	25
P132	e16 fascicolo indagini.pdf	41	27A
P133	e16 fascicolo indagini.pdf	42	27B
P134	e16 fascicolo indagini.pdf	43	27C
P135	<u> </u>	44	27D
	e16 fascicolo indagini.pdf		
P136	e16 fascicolo indagini.pdf	45	27E
P137	e16 fascicolo indagini.pdf	47	29
P138	e16 fascicolo indagini.pdf	49	30
P139	e16 fascicolo indagini.pdf	49	32
P140	e16 fascicolo indagini.pdf	50	33
P141	e16 fascicolo indagini.pdf	51	34
P142	e16 fascicolo indagini.pdf	52	35
P143	e16 fascicolo indagini.pdf	53	38
P144	e16 fascicolo indagini.pdf	54	40
P145	e16 fascicolo indagini.pdf	55	41
P146	e16 fascicolo indagini.pdf	56	42
P147	e16 fascicolo indagini.pdf	57	43
P148	e16 fascicolo indagini.pdf	58	45
P149	e16 fascicolo indagini.pdf	59	46
P150	e16 fascicolo indagini.pdf	60	47
P151	e16 fascicolo indagini.pdf	61	48
P152	e16 fascicolo indagini.pdf	64	52A
P153	e16 fascicolo indagini.pdf	65	52B
P154	e16 fascicolo indagini.pdf	66	53BISB
P155	e16 fascicolo indagini.pdf	67	54A
P156	e16 fascicolo indagini.pdf	68	54B
P157	e16 fascicolo indagini.pdf	70	56A
P158	e16 fascicolo indagini.pdf	69	56B
P159	e16 fascicolo indagini.pdf	71	60
P160	e16 fascicolo indagini.pdf	73	60B
P161	e16 fascicolo indagini.pdf	75	62A
P162	e16 fascicolo indagini.pdf	76	62
P163	e16 fascicolo indagini.pdf	77	63A
P164	e16 fascicolo indagini.pdf	79	63B
P165	e16 fascicolo indagini.pdf	81	64A
P166	e16 fascicolo indagini.pdf	85	65
P167	e16 fascicolo indagini.pdf	86	66
P168	e16 fascicolo indagini.pdf	88	69
P169	e16 fascicolo indagini.pdf	90	69B
	<del>-</del>	63	44
P170	e16 fascicolo indagini.pdf	n.s	22

Codice ID	Nome documento	Pagina	Codice nel documento
P172	dati regione.pdf	132	01367
P173	dati regione.pdf	49	00352
P174	dati regione.pdf	45	00350
P175	dati regione.pdf	47	00351
P176	dati regione.pdf	74	00459
P177	dati regione.pdf	95	00584
P178	dati regione.pdf	51	00355
P179	dati regione.pdf	91	00573
P180	dati regione.pdf	36	00309
P181	dati regione.pdf	123	01192
P182	dati regione.pdf	121	01191
P183	dati regione.pdf	117	01188
P184	dati regione.pdf	119	01189
P185	dati regione.pdf	6	00056
P186	dati regione.pdf	9	00060
P187	dati regione.pdf	112	00789
P188	dati regione.pdf	114	00790
P189	dati regione.pdf	16	00144
P190	dati regione.pdf	110	00788
P191	dati regione.pdf	109	00787
P192	dati regione.pdf	77	00530
P193	dati regione.pdf	52	00357
P194	<u> </u>	79	00537
	dati regione.pdf		
P195	dati regione.pdf	89	00559
P196	dati regione.pdf	146	01687
P197	dati regione.pdf	88	00557
P198	dati regione.pdf	144	01610
P199	dati regione.pdf	129	01365
P200	dati regione.pdf	72	00420
P201	dati regione.pdf	3	00052
P202	dati regione.pdf	138	01528
P203	dati regione.pdf	84	00542
P204	dati regione.pdf	142	01530
P205	dati regione.pdf	140	01529
P206	dati regione.pdf	83	00541
P207	dati regione.pdf	81	00540
P208	dati regione.pdf	127	01335
P209	dati regione.pdf	128	01336
P210	dati regione.pdf	35	00204
P211	dati regione.pdf	14	00118
P212	dati regione.pdf	7	00057
P213	dati regione.pdf	98	00725
P214	dati regione.pdf	11	00063
P215	dati regione.pdf	93	00575
P216	dati regione.pdf	17	00181
P217	dati regione.pdf	19	00182
P218	dati regione.pdf	32	00191
P219	dati regione.pdf	30	00190
P220	dati regione.pdf	25	00186
P221	dati regione.pdf	43	00322
P222	dati regione.pdf	76	00471
P223	dati regione.pdf	27	00189
P224	dati regione.pdf	41	00321
P225	dati regione.pdf	39	00320
P226	dati regione.pdf	108	00764
P227	dati regione.pdf	134	01437
P228	dati regione.pdf	23	00185
P229	dati regione.pdf	125	01298

Codice ID	Nome documento	Pagina	Codice nel documento
P230	dati regione.pdf	21	00183
P231	dati regione.pdf	100	00757
P232	dati regione.pdf	75	00469
P233	dati regione.pdf	103	00758
P234	dati regione.pdf	85	00551
P235	dati regione.pdf	105	00760
P236	dati regione.pdf	99	00726
P237	dati regione.pdf	38	00317
P238	dati regione.pdf	136	01465
P239	dati regione.pdf	8	00059
P240	dati regione.pdf	13	08000
P241	dati regione.pdf	97	00599
P242	dati regione.pdf	70	00418
P243	dati regione.pdf	62	00385
P244	dati regione.pdf	68	00417
P245	dati regione.pdf	64	00386
P246	dati regione.pdf	60	00384
P247	dati regione.pdf	152	01721
P248	dati regione.pdf	1	00017
P249	dati regione.pdf	151	01720
P250	dati regione.pdf	149	01718
P251	dati regione.pdf	148	01717
P252	dati regione.pdf	148	01719
P253	dati regione.pdf	87	00553
P254	dati regione.pdf	58	00383
P255	dati regione.pdf	56	00381
P256	dati regione.pdf	54	00380
P257	dati regione.pdf	116	00922
P258	dati regione.pdf	66	00405
P259	DBS_Ater	1	DBS_Ater
P260	DBS_Ater1	1	DBS_Ater1
P261	Dmus_TDL	2	Dmus_TDL DH
P262	DD_SIP	1	DD_SIP
P263	DD_Depuratore	1	DD_Depuratore
P264	DD_Barsacchi	1	DD_Barsacchi
P265	DD_Marcop1	1	DD_Marcop1
P266	DD_Marcop2	1	DD_Marcop2
P267	BERGAMIN_ICRAM	1	BERGAMIN_ICRAM
P268	sira113	1	sira113
P269	sira117	1	sira117
P270	sira124	1	sira124
P271	sira125	1	sira125
P272	sira179	1	sira179
P273	sira180	1	sira180
P274	sira181	1	sira181
P275	sira197	1	sira197
P276	sira240	1	sira240
P277	sira241	1	sira241
P278	sira242	1	sira242
P279	sira243	1	sira243
P280	sira244	1	sira244
P281	sira245	1	sira245
P282	sira246	1	sira246
P283	sira247	1	sira247
P284	sira248	1	sira248
P285	sira249	1	sira249
P286	sira250	1	sira250
P287	sira251	1 1	sira251

Codice ID	Nome documento	Pagina	Codice nel documento
P288	sira252	1	sira252
P289	sira253	1	sira253
P290	sira254	1	sira254
P291	sira255	1	sira255
P292	DB_SALOV	1	DB_SALOV
P293	DB_ITALMACO	1	DB_ITALMACO
P294	DB_CARBONAIE	1	DB_CARBONAIE
P295	DB_CAVALCAFERROVIA	1	DB_CAVALCAFERROVIA
P296	DM142	1	DM142
P297	DM145	1	DM145
P298	DM144	1	DM144
P299	DM_SEZ_B	1	DM_SEZ_B
P300	S1-STANDA	1	S1-STANDA
P301	S2-STANDA	1	S2-STANDA
P302	S5_STANDA	1	S5_STANDA
P303	S6_STANDA	1	S6_STANDA
P304	S7_STANDA	1	S7_STANDA
P305	R1A12	1	R1A12
P306	R4A12	1	R4A12
P307	R5A12	1	R5A12
P308	R2bA12	1	R2bA12
P309	R4bA12	1	R4bA12
P310	R3A12	1	R3A12
P311	R5bA12	1	R5bA12
P312	R1bA12	1	R1bA12
P313	R2A12	1	R2A12
P314 P315	R3bA12 CS1SI	1 1	R3bA12 CS1SI
P316	CSN1SI	1	CSN1SI
P317	DAPAT 179	1	DAPAT 179
P318	DMUS TDL	1	DMus TDL
P319	j24057.04.17_vrg.pdf	24	HVSR 01
P320	j24057.04.17_vrg.pdf	30	HVSR 02
P321	j24057.04.17_vrg.pdf	36	HVSR 03
P322	j24057.04.17_vrg.pdf	42	HVSR 04
P323	j24057.04.17_vrg.pdf	48	HVSR 05
P324	j24057.04.17 vrg.pdf	54	HVSR 06
P325	j24057.04.17 vrg.pdf	60	HVSR 07
P326	j24057.04.17_vrg.pdf	66	HVSR 08
P327	j24057.04.17_vrg.pdf	72	HVSR 09
P328	j24057.04.17_vrg.pdf	78	HVSR 10
P329	j24057.04.17 vrg.pdf	84	HVSR 11
P330	P330		HVSR1
P331	P331		P1
P332	P332		DPSH Old
P333	P333		S1 old
P334	P334		S1 new
P335	P335		DW-hole
P336	P336		DPSH 1
P337	P337		DM030 / 1
P338	P338		S1
P339	P339		CPTU1
P340	P340		CPTU2b
P341	P341		TR 1
P342	P342		TR 2
P343	P343		TR 3
P344	P344		DPSH3
P345	P345		DIN 1

Codice ID	Nome documento	Pagina	Codice nel documento
P346	P346		S-CPTU 1
P347	P347		S-CPTU2
P348	P348		DPSH 1
P349	P349		DPSH 2
P350	P350		cpt220628
P351	P351		tr
P352	P352		PS.1
P353	P353		S1-DH
P354	P354		PD1
P355	P355		S1
P356	P356		DH 1
P357	P357		DH
P358	P358		CPT1
P359	P359		P1
P360	P360		P2
P361	P361		SCPT2
P362	P362		S1
P363	P363		CPTU1
P364	P364		CPTU2
P365	P365		CPTU3
P366	P366		CPTU4
P367	P367		CPTU5
P368	P368		CPTU6
P369	P369		CPTU7
P370	P370		CPTU8
P371	P371		CPTU9
P372	P372		CPTU10
P373	P373		CPTU11
P374	P374		HVSR1
P375	P375		HVSR2
P376	P376		HVSR3
P377	P377		HVSR4
P378	P378		P2
P379	P379		P3

Tabella di correlazione per le indagini lineari presenti nelle tavole QG 1.5.1, 1.5.2 e 1.5.3

Codice ID	Nome documento	Codice nel documento	Vs 30 (m/s)
L1	L1	MASW	300
L2	L2	MASW	193
L3	L3		253
L4	L4	MASW	204
L5	L5		233
L6	L6		306
L7	L7	MASW	196
L8	L8		183
L9	L9		198
L10	L10		266
L11	L11	MASW	194
L12	L12	MASW	226
L13	L13	MASW	213
L14	L14	MASW2	389
L15	L15	MASW1	236
L16	L16		218
L17	L17		228
L18	L18		220
L19	L19		219
L20	L20	MASW01	238
L21	L21	MASW	194
L22	L22	prova MASW	201
L23	L23		sismica a rifrazione
L24	L24	MASW	218
L25	L25	MASW 1	200
L26	L26	Masw	265
L27	L27	MASW1	204
L28	L28	MASW2	193
L29	L29	MASW3	181
L30	L30	MASW4	191